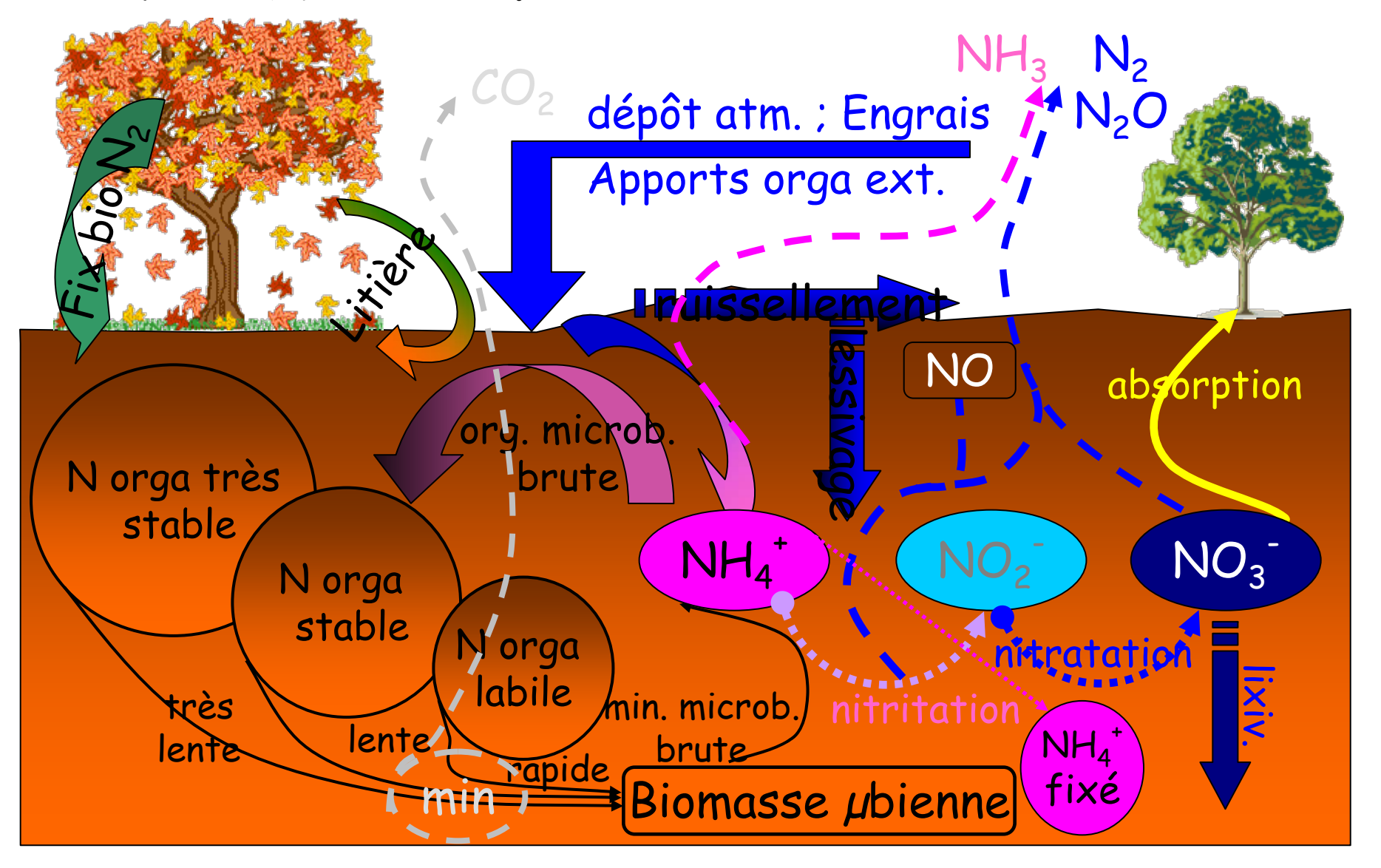


## Cycle de la M.O. : le devenir des sources de N dans le sol.



# L'échantillonnage : un pré-requis gage de qualité mais des choix difficiles



- Hétérogénéité s'exprime à toutes les échelles : paysage , parcelle, profil....
- processus dynamiques : échantillon ne peut pas être repris

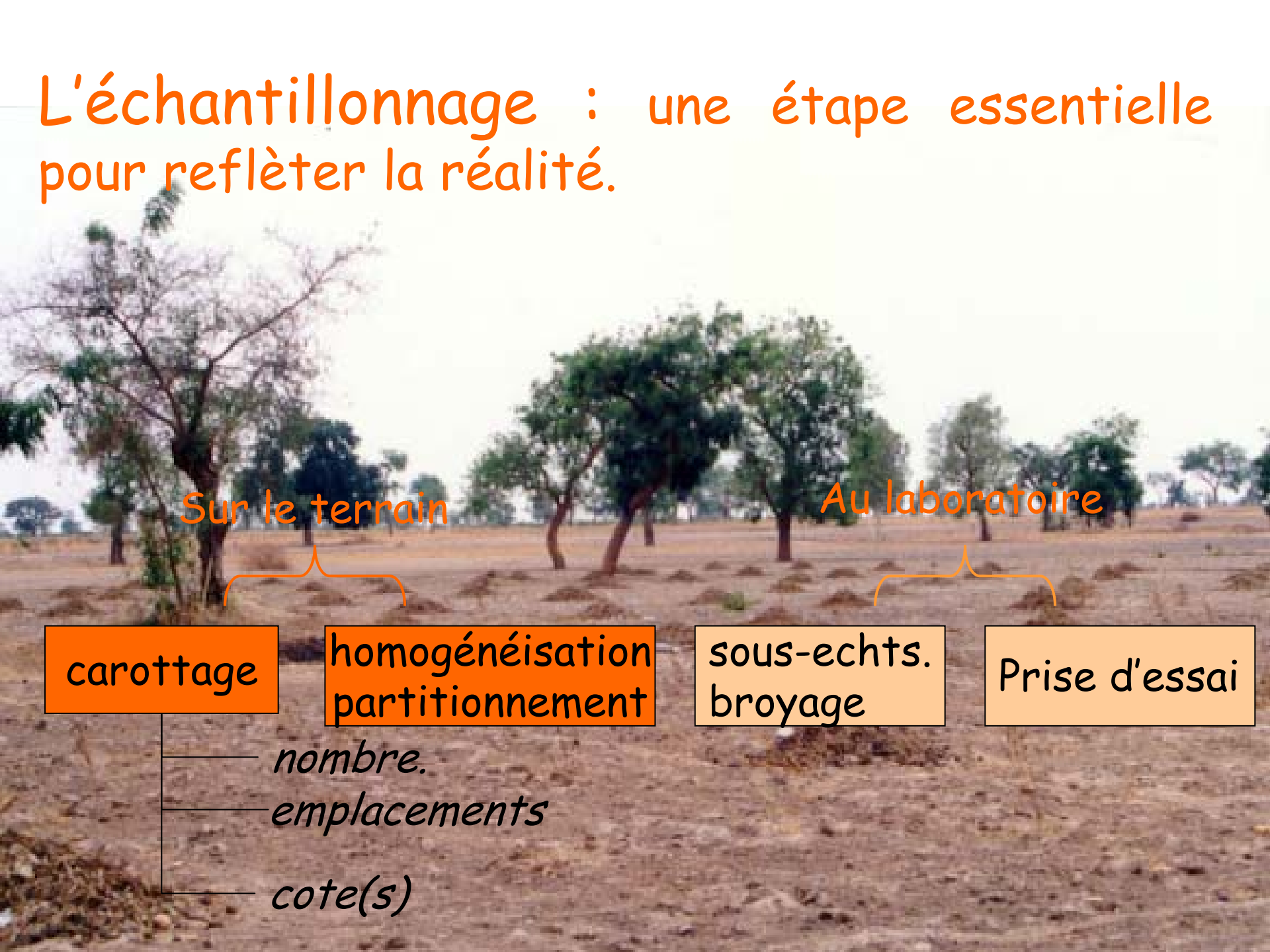
- Privilégier, si possible, une approche naturaliste pour faire des choix d'unité fonctionnelle
- ✓ Avoir conscience de ce qu'il est réaliste de faire : durée ; coût ; complexité du chantier.....



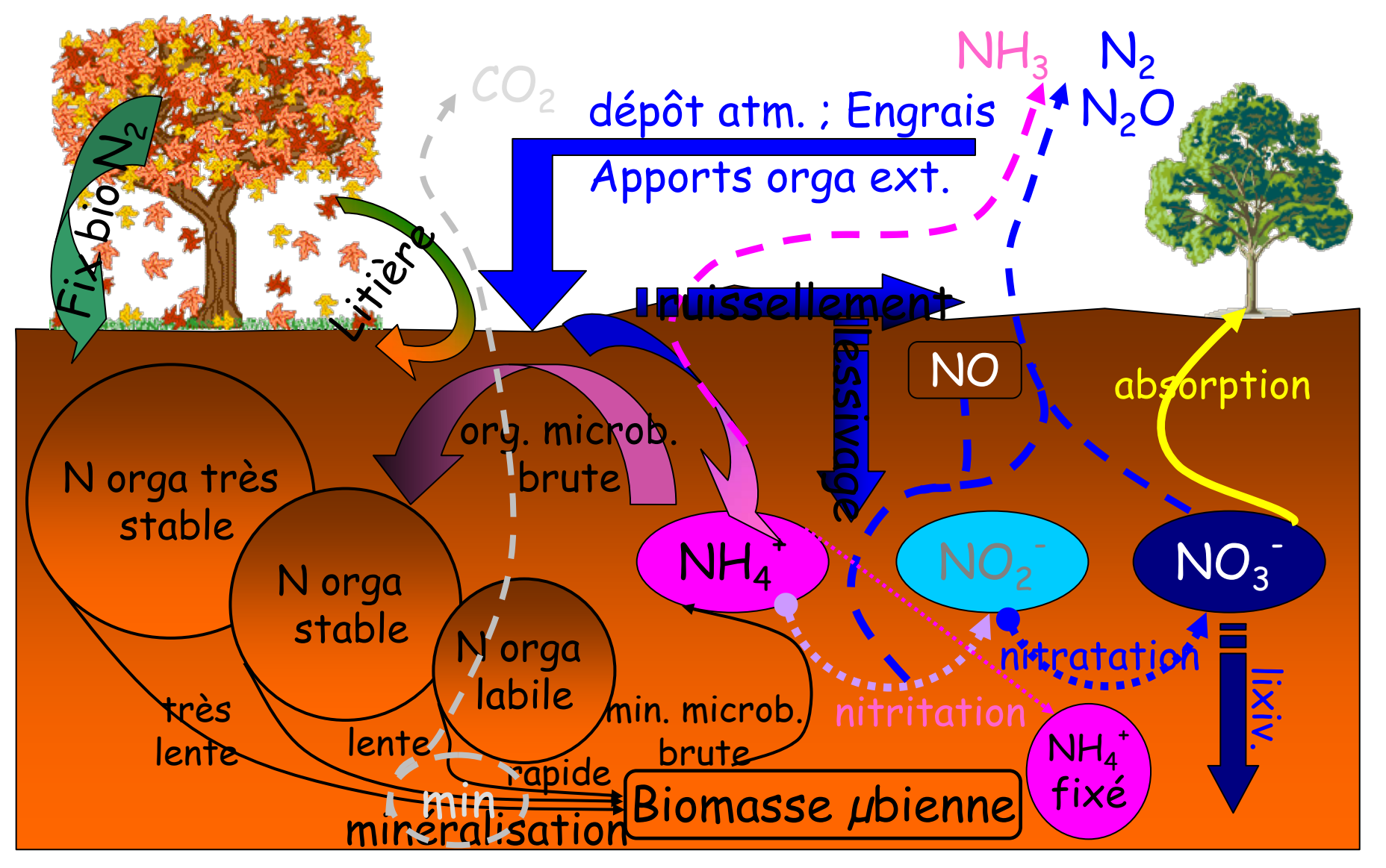
Nb de carottages Règle simple :  $n = t^2 (R/4)^2 / D^2$ 

## Constitution d'un échantillon composite : éventail des techniques

- ✓ Echantillonnage stratifié vs global
  - o Meilleure saisie de la diversité
  - o Représentativité de la valeur moyenne
  - o Coût !!!!
- ✓ carottages aléatoire vs systématique
  - o Subjectivité (inconsciente) de l'emplacement
  - o Exploitation géostatistique
  - o Techniques d'échantillonnage systématique
    - Parcours « quadrillé »
    - Parcours type « billard »

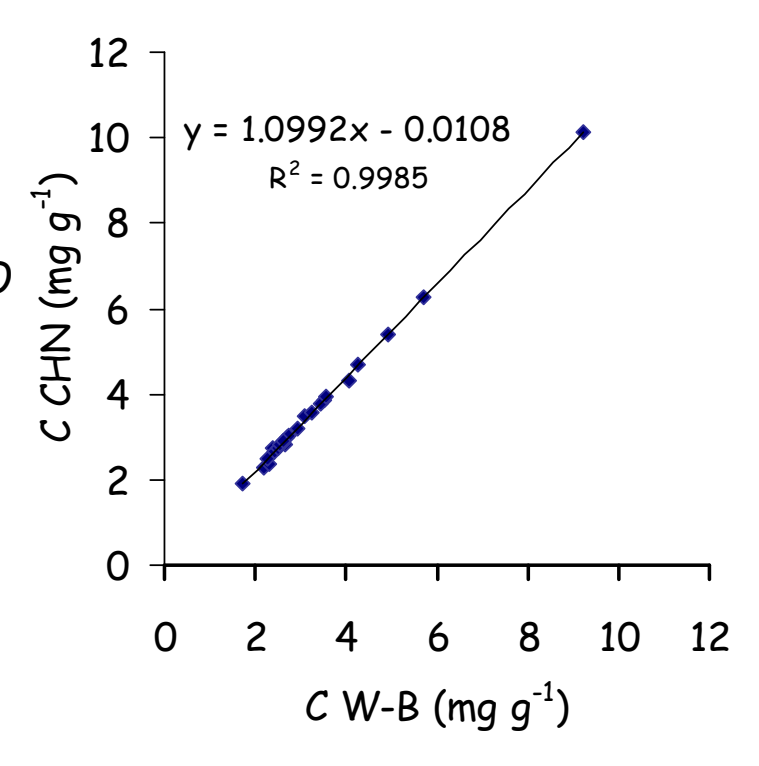


## Cycle de la M.O. : apprécier les stocks de C et N et la fourniture en N d'un sol

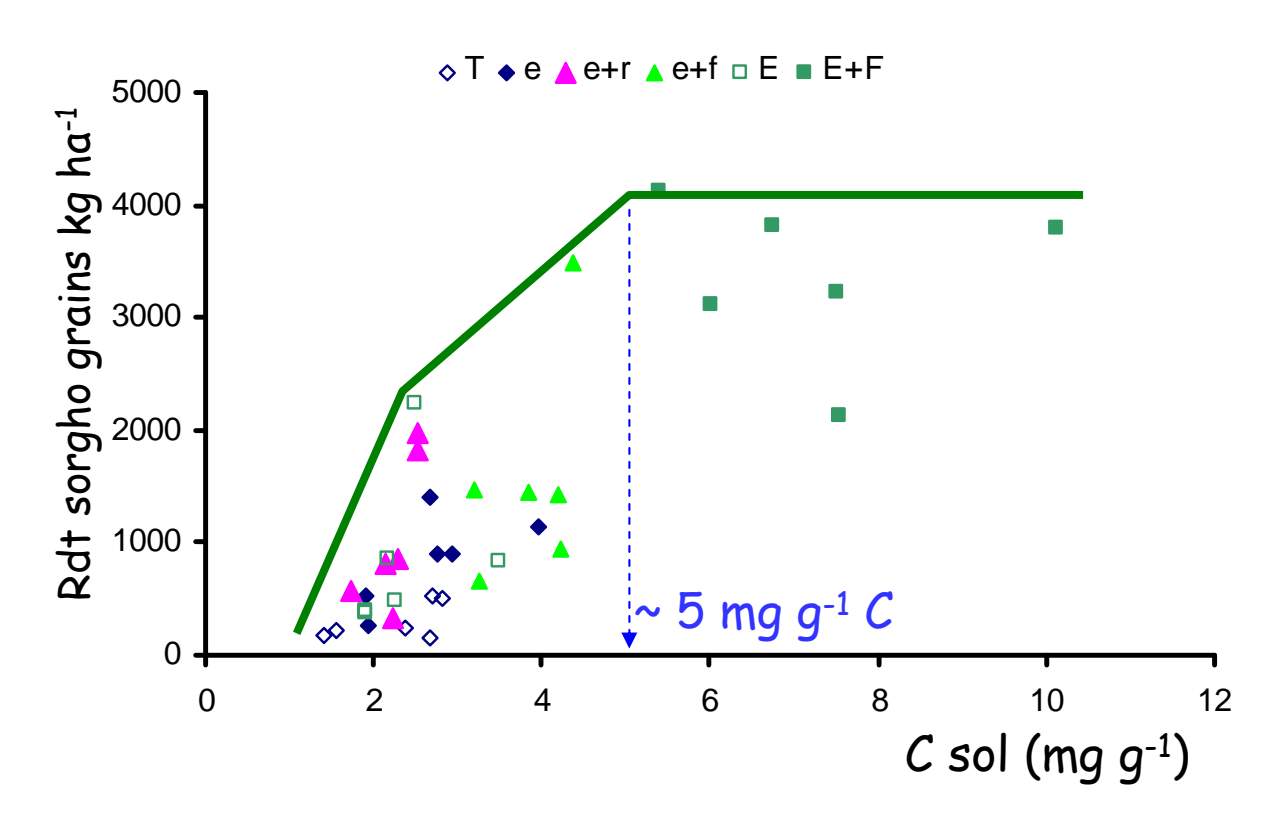


#### Evolution des teneurs en C total du sol

- Problèmes analytiques
  - Evolution des techniques analytiques
    - Des techniques Anne ou Wakley et Black à l'analyseur CHN
    - Coefficient de transformation C→MO
  - Le problème de carbonates dans le cas de l'analyseur CHN
- ✓ Problèmes d'échantillonnage
  - o Etude diachronique ou synchronique
  - Limite des horizons
  - Prise en compte ou non des débris végétaux figurés
  - Changements physiques (masse équivalente)

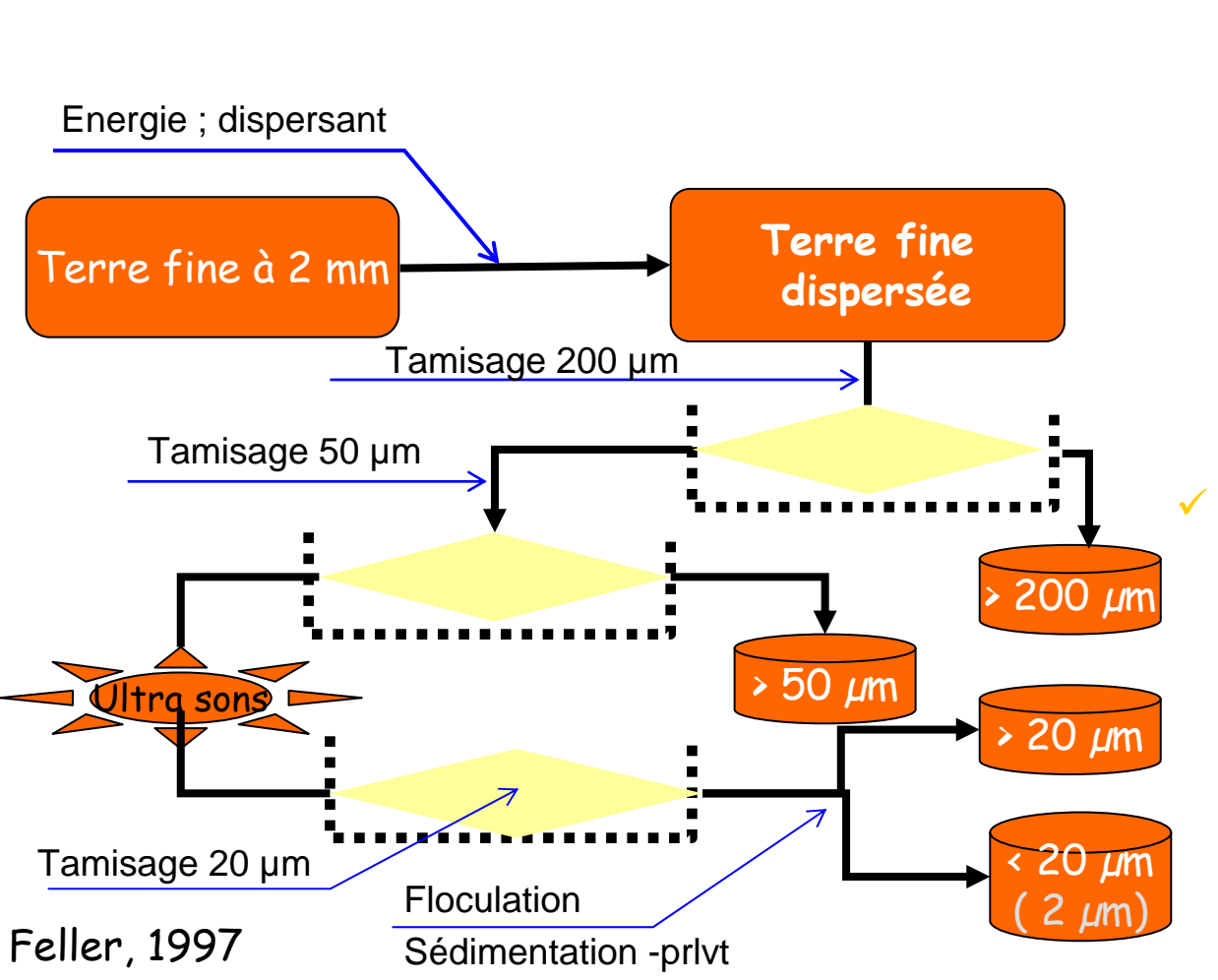


## Utiliser les teneurs en M.O.: relation M.O. → productivité



✓ Selon Feller (1995) : seuil  $C \rightarrow 0.37(A+Lf)$  soit 6.8 mg g<sup>-1</sup> C à Saria

# Méthodologie du fractionnement granulométrique de la M.O.

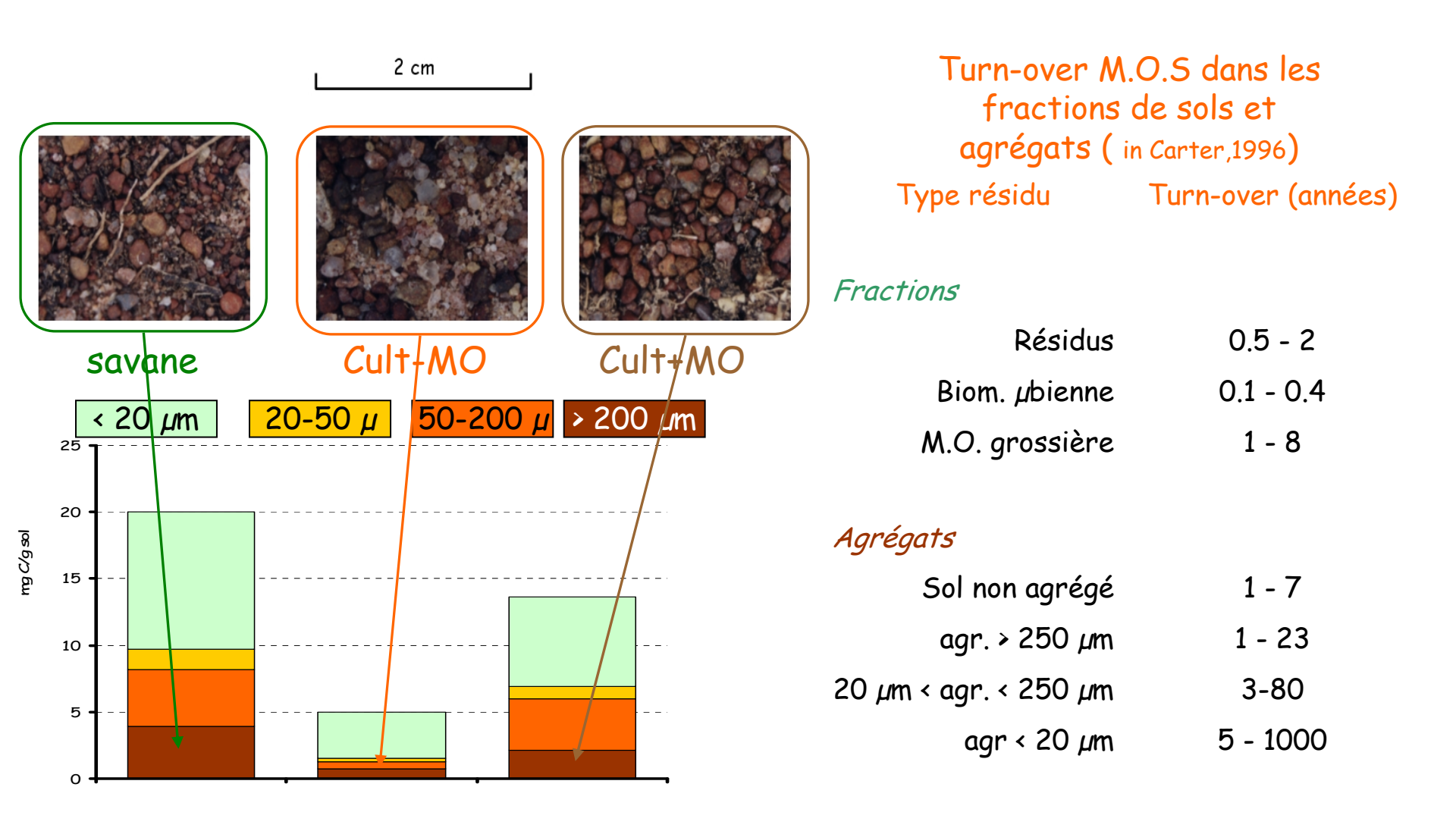


- Objectif : apprécier l'effet des pratiques sur l'intégration de la M.O. au sol
  - Dispersion sans destruction de la MO.
  - Séparation et « purification » des fractions
  - Dosages de C et N par fractions
  - Dosage éventuel de C et N dissous
  - Bilan par fraction et par rapport au sol total

#### Remarques

- Maîtrise de l'énergie de dispersion
- Nombreux dosages
- Difficultés d'application pour certain sols (amorphes)

### Répartition du C organique par fractions de sol sous divers couverts au Burkina Faso



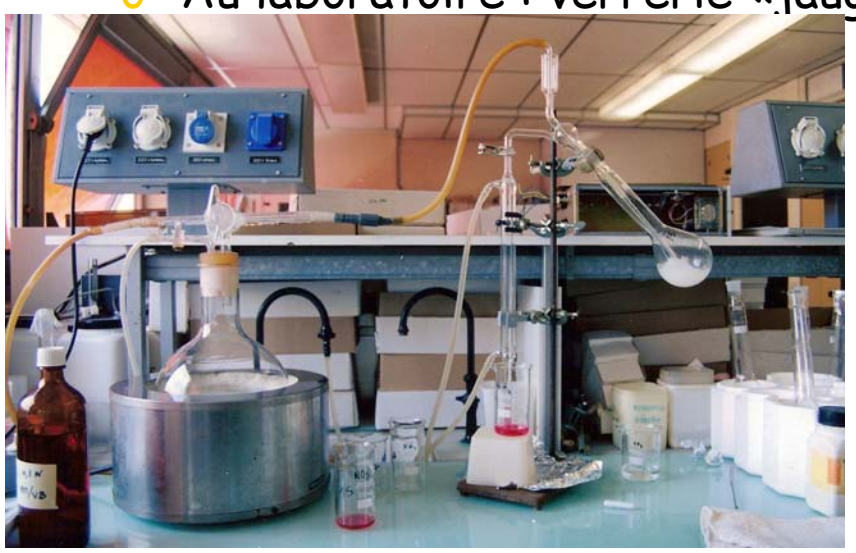
## N total du sol : évolution technique similaire à celle de C total

- √ Méthode traditionnelle : Kjeldhal
  - o Prise d'essai macro (1 à 10 g terre fine rebroyée)
  - o Coup de main pour apprécier l'attaque
  - Dosage par distillation (interférences)
- ✓ Méthode « moderne » analyseur CHN (Dumas).
  - Mêmes exigences et pièges que pour le dosage de C total
  - o Maintenance et calibrage des appareils à surveiller

## N minéral : une détermination sous contraintes

- Evolution rapide des échantillons après prélèvement
  - o Respect de la chaîne du froid
  - Logistique (transport et capacité de stockage)
- Extraction sur sol « frais »
  - Obligation de traiter une aliquote « conséquente »
  - O Détermination simultanée de l'humidité
  - Conservation des extraits

Au laboratoire : verrerie « jaugée»



- ✓ Détermination par distillation à la vapeur
  - (MgO Devarda) en moyenne 10 minutes/dosage
  - Appréciation du point de fin de réaction (sauf titri. Auto)
  - O Sensibilité de l'analyse
- ✓ Dosage par colorimétrie automatique NH<sub>4</sub><sup>+</sup> et NO<sub>3</sub><sup>-</sup>

# N minéral : évolution de la technique d'extraction

- Extraction « bordure de champs » vs chaîne du froid.
  - Préparation au laboratoire
    - (flacon pré-pesé vide et avec KCl)
    - Boîte à tare pré-pesée pour l'humidité
  - o Réalisation sur le terrain (ou en bordure)
    - Pesée flacon avec aliquote humide
    - Extraction sur place (agitation; décantation)
    - Filtration stérile d'une aliquote prête à l'analyse

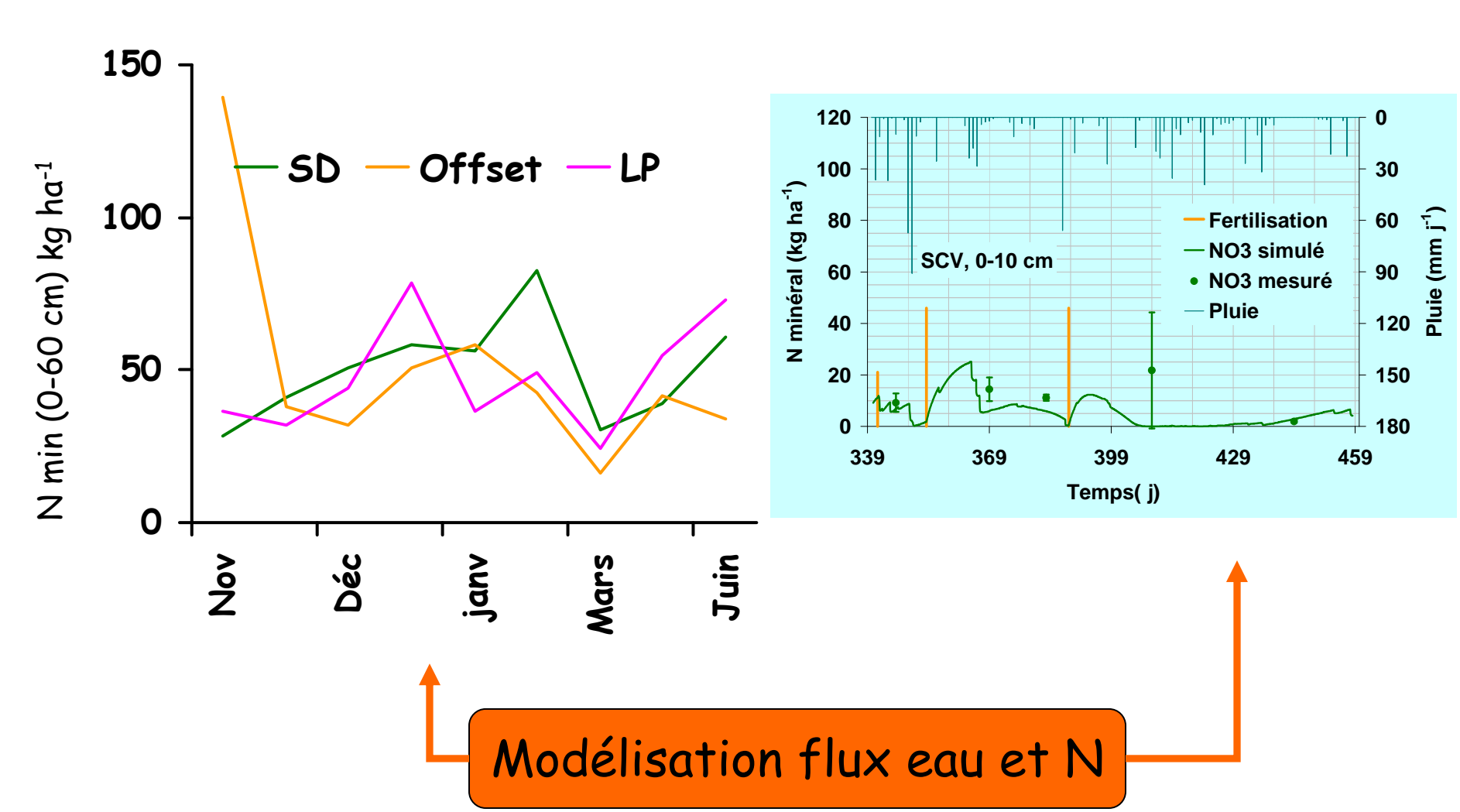
#### ✓ Avantages

- Problèmes logistiques simplifiés
  - Poids et volumes à transférer et conserver
  - Matériel généralement disponible « partout » (sauf filtres stériles)
- O Conservation des extraits testée sur 6 mois
- ✓ Inconvénients
  - Surcharge de travail sur le terrain
  - Colorimétrie automatique « obligatoire »
  - Peu adapté à certains types de sol (vertisols)





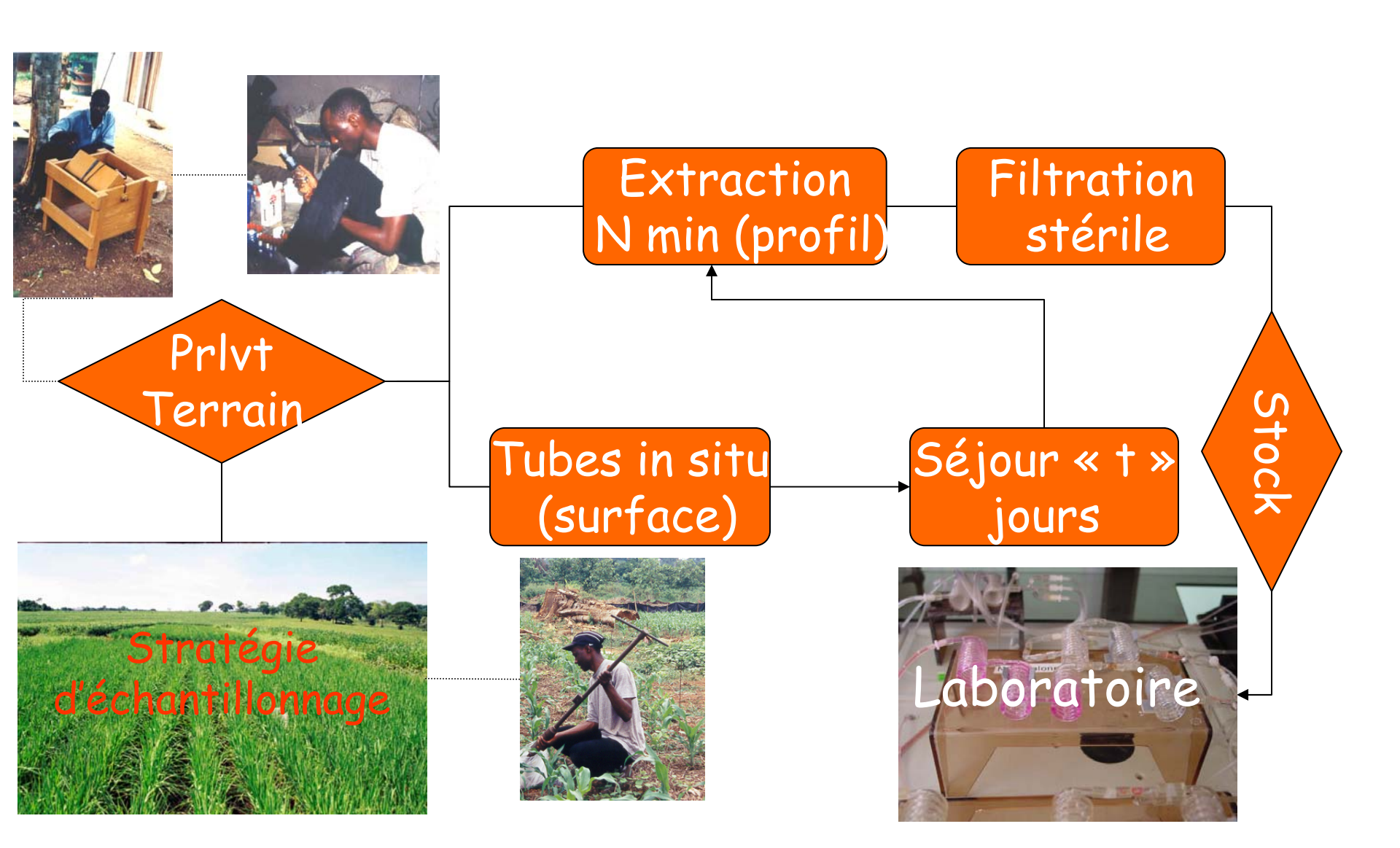
# Dynamique de N minéral : outil de calage et vérification de modèles



## Appréciation des réserves en azote minéralisable

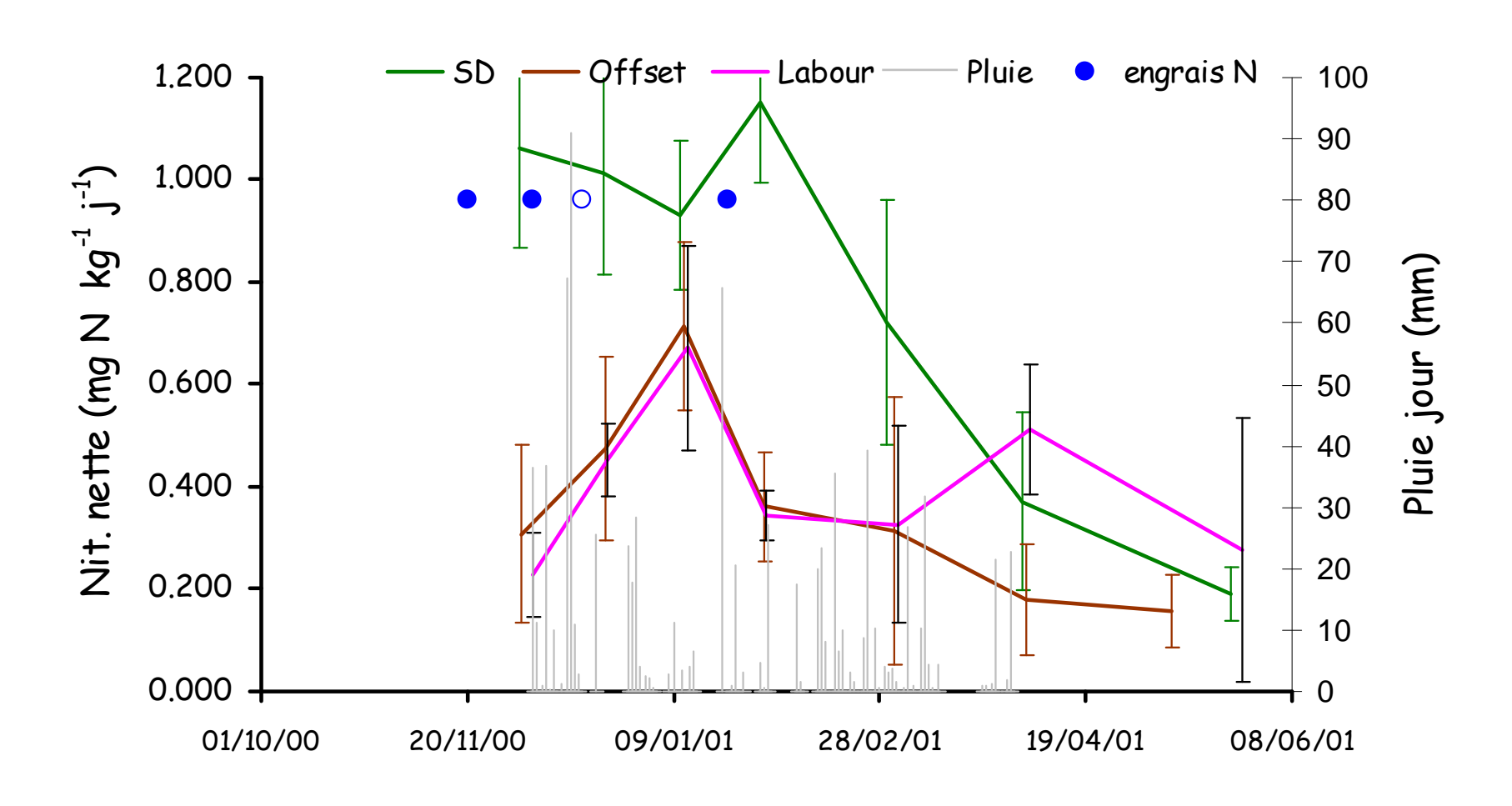
- ✓ Technique d'incubation in-situ (Raison 1987)
  - Remise in-situ d'une aliquote de terre du privt N min protégée des « fuites » et dosage du D N min en fin de période (10 à 20 jours)
  - o Avantages:
    - Conditions de milieu « peu » artificialisées
    - Relativement simple à mettre en œuvre
  - o Inconvénients:
    - Méthode « à posteriori »
    - Bilan en fin de période
    - Peu adaptée à certains systèmes de culture (semis direct)
    - Problèmes d'échantillonnage si adaptation pour ces systèmes
- Techniques d'incubation en laboratoire
  - o Large éventail de techniques différant par :
    - Humidité d'incubation (submersion, proportion CMR...)
    - Température (28°C; 40°C (durée limitée); 15°C)
    - Gestion de l'accumulation des nitrates
  - Objectif commun
    - Tenter d'approcher le potentiel de minéralisation du sol

#### Qutils de suivi de la dynamique de N: N min. et Nit. nette in situ



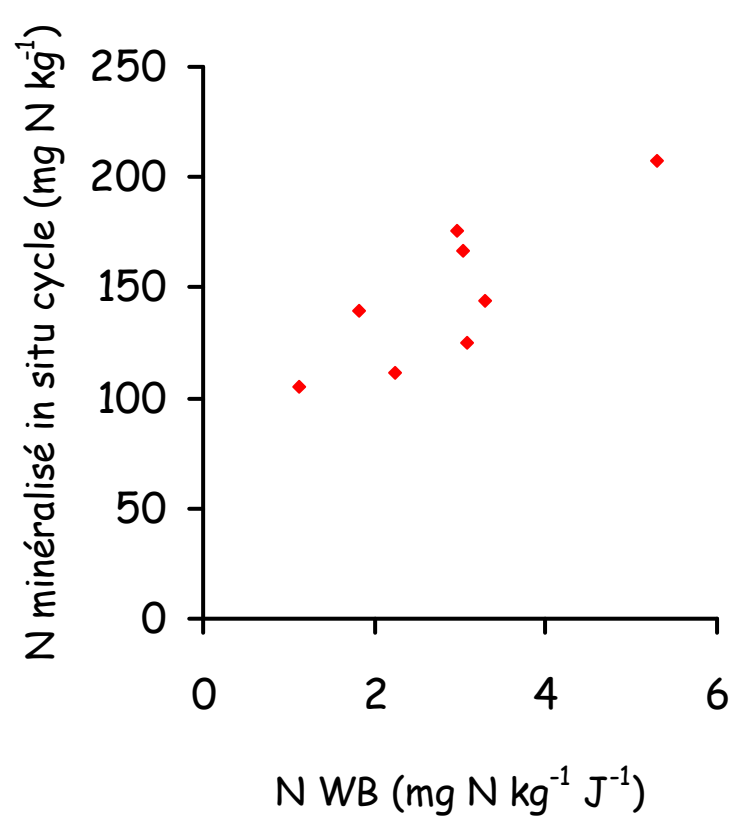


# Nitrification nette in situ : exemple de résultats

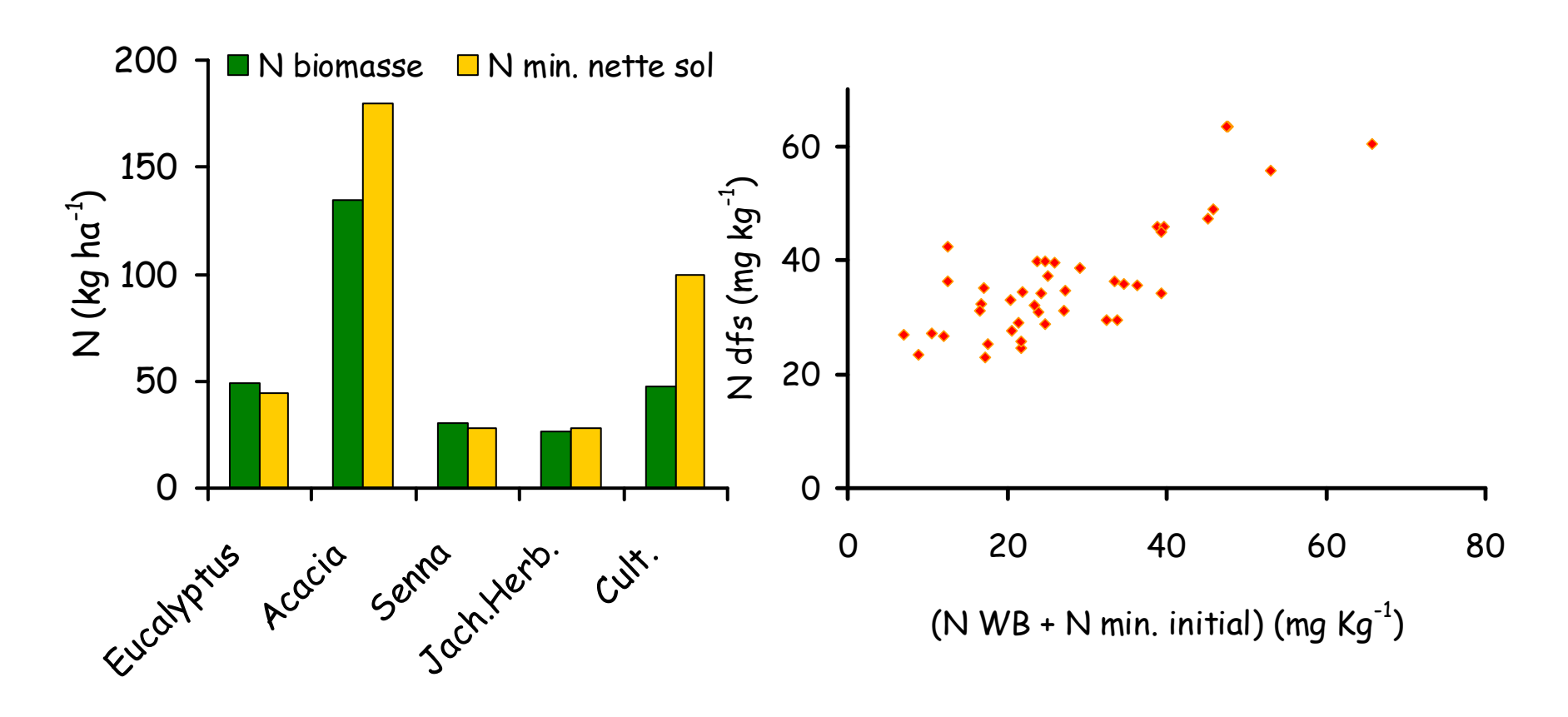


## Test N minéralisable labo Waring-Bremner : un choix lié avant tout à la simplicité

- Evolution technique:
  - o (WB 64): 14J 25°C distil.
  - (Kandeler 95): 7J 40°C colo.
- Application agronomique :
  - Réponse rapide et conditions d'incubation simples
  - Méthode de screening
  - Résultats fortement corrélés à N total sol → plus value de la technique dans l'explication des « écarts à cette relation »



# Indicateurs de minéralisation et prélèvement de N par les plantes.



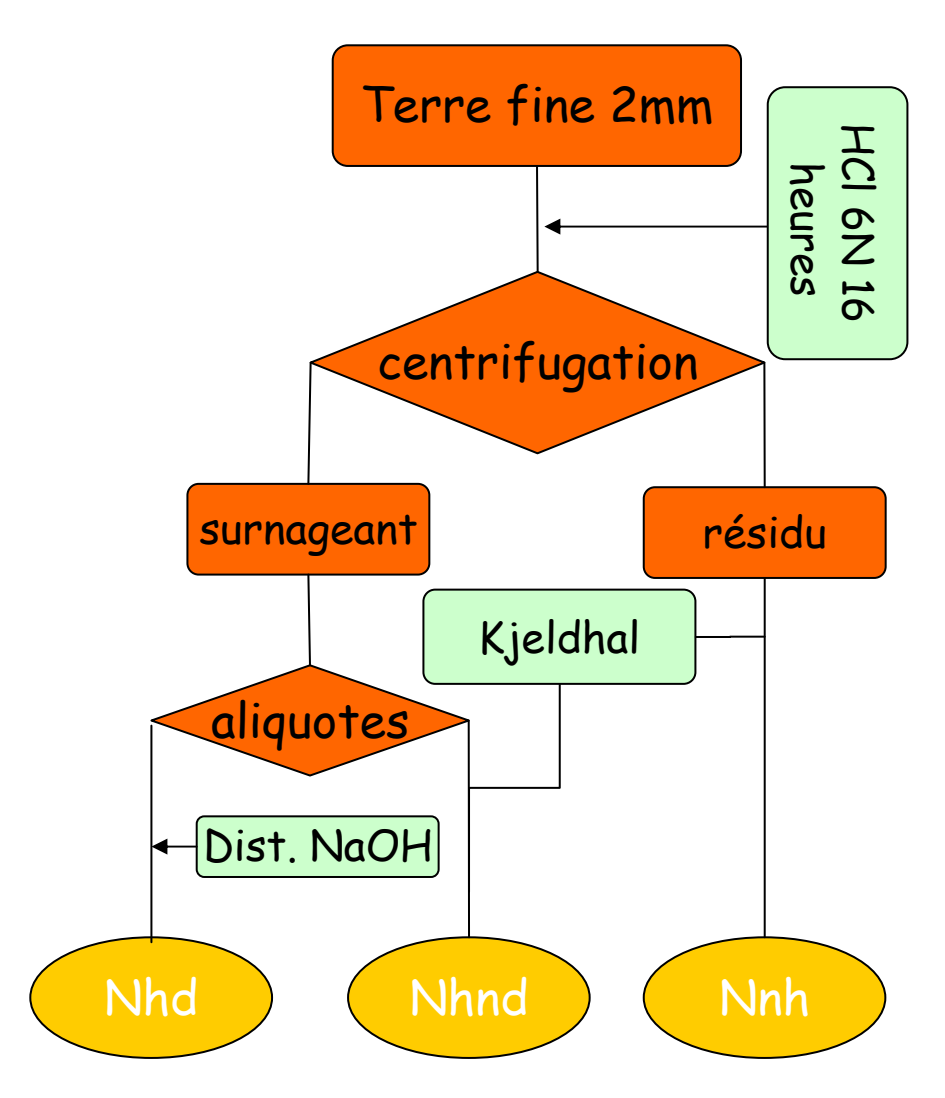
Essai agroforesterie Ngong (Harmand 95)

Essai V.V. Burkina Faso (Waneuken91)

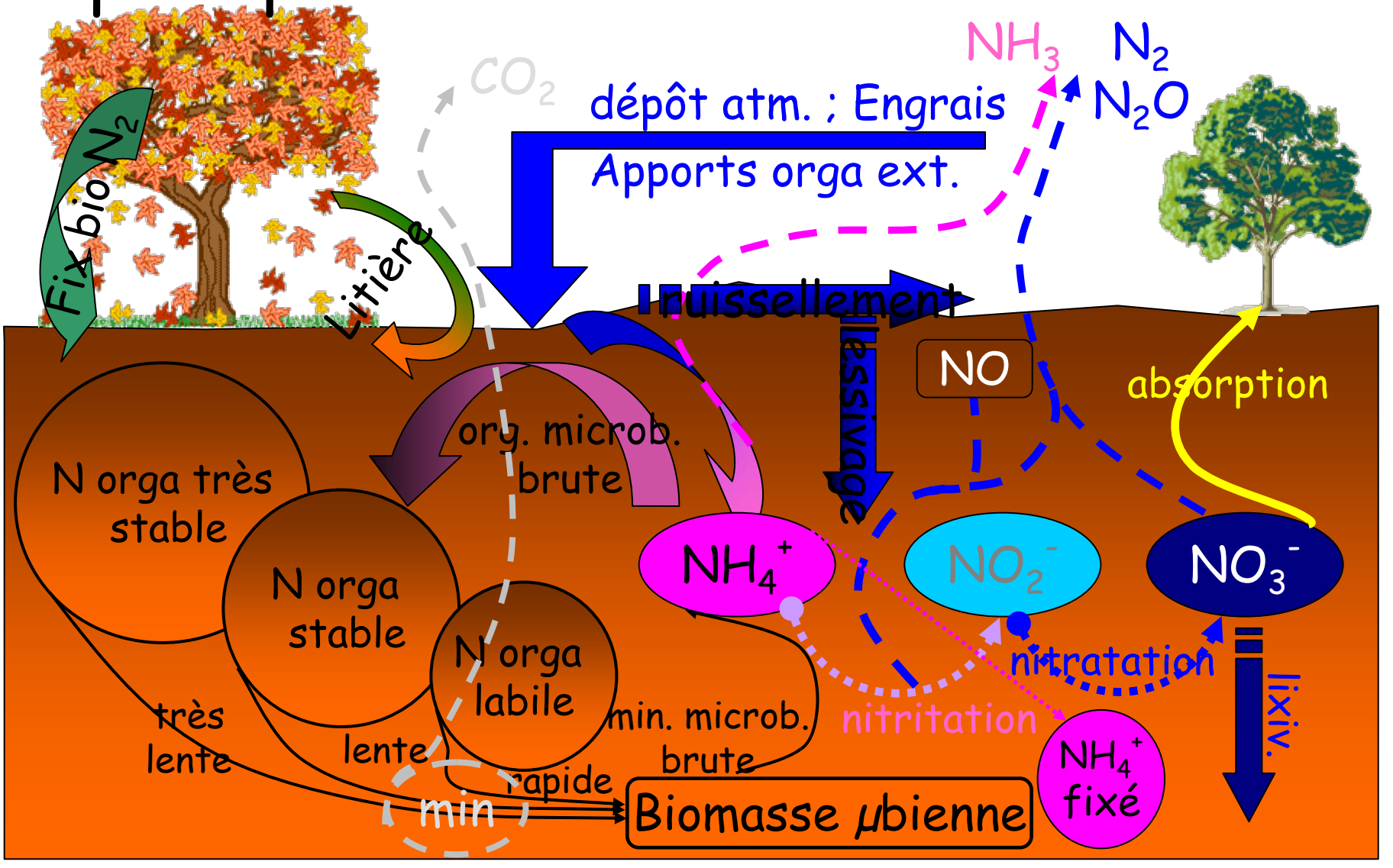


### Techniques chimiques de caractérisation de la « part assimilable » de N orga. du sol

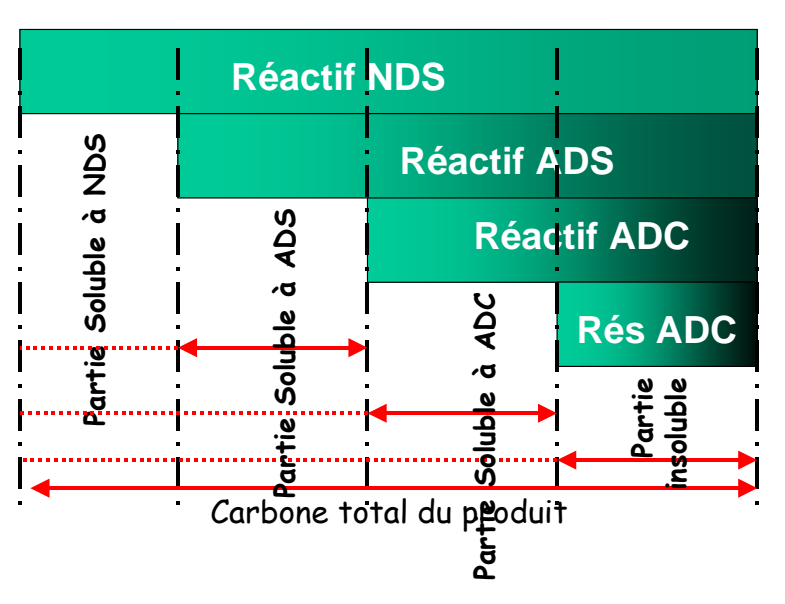
- Objectifs: disposer d'un test de laboratoire rapide, reproductible et applicable à un large éventail de situations
  - O Quelle valeur ajoutée par rapport à N total ?
- Quelques techniques :
  - O Hydrolyse acide suivie de distillation sélective (Bremner 1965, Egoumenides 1987)
    - indicateur rapport Nhd/Nhnd
    - part de Nnh
  - Part organique des extraits KCI M de sol (Velly 1980)
  - N extrait par KMnO<sub>4</sub> acidifié



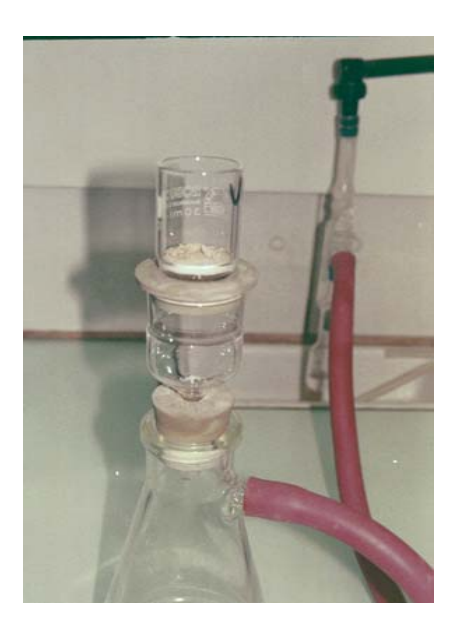
Caractériser les entrées organiques pour prédire leur devenir



# Principe de l'analyse pariétale appliquée à la caractérisation des M.O. exogènes





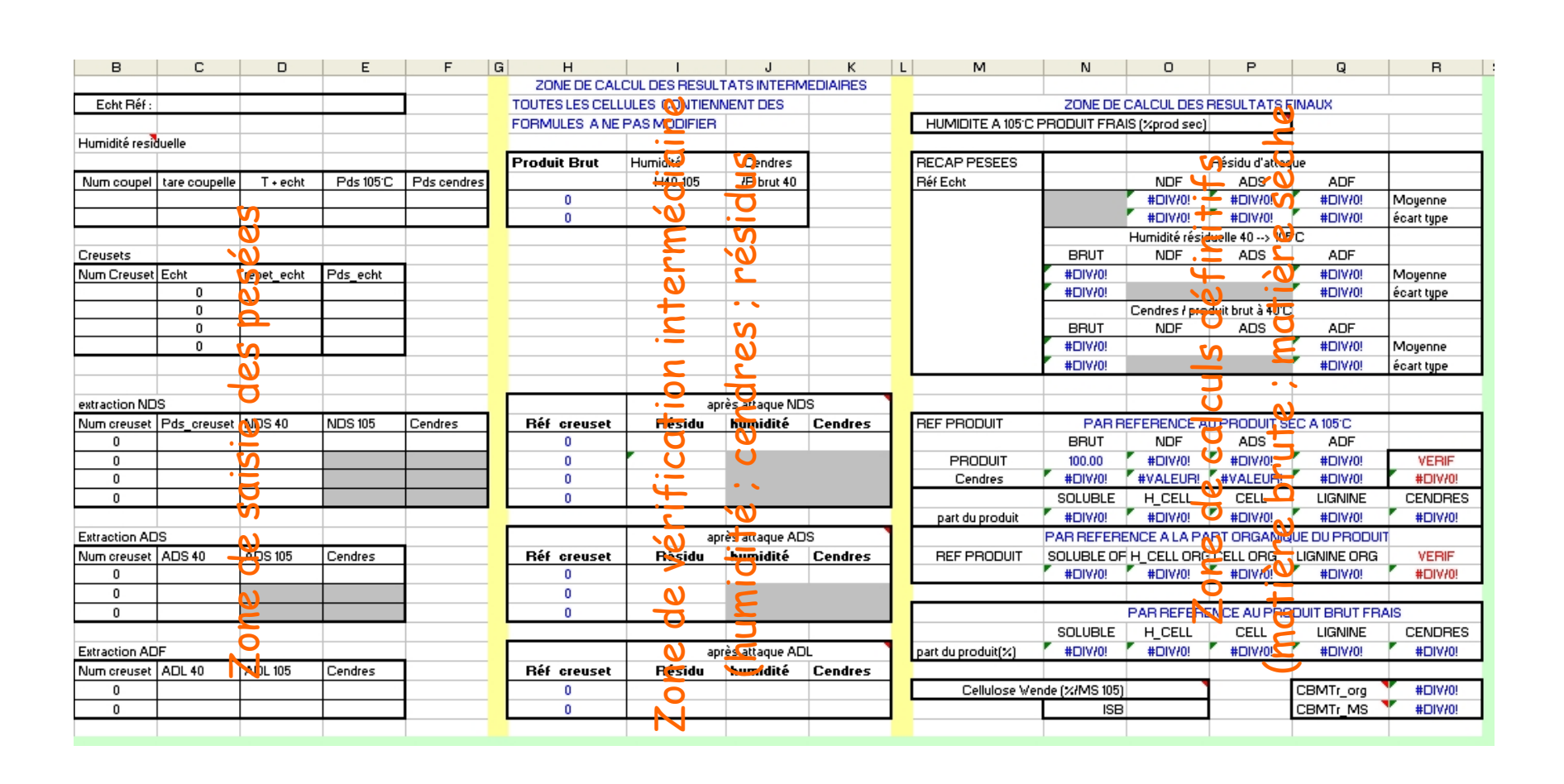


À chaque étape du processus (4 rep/echt):

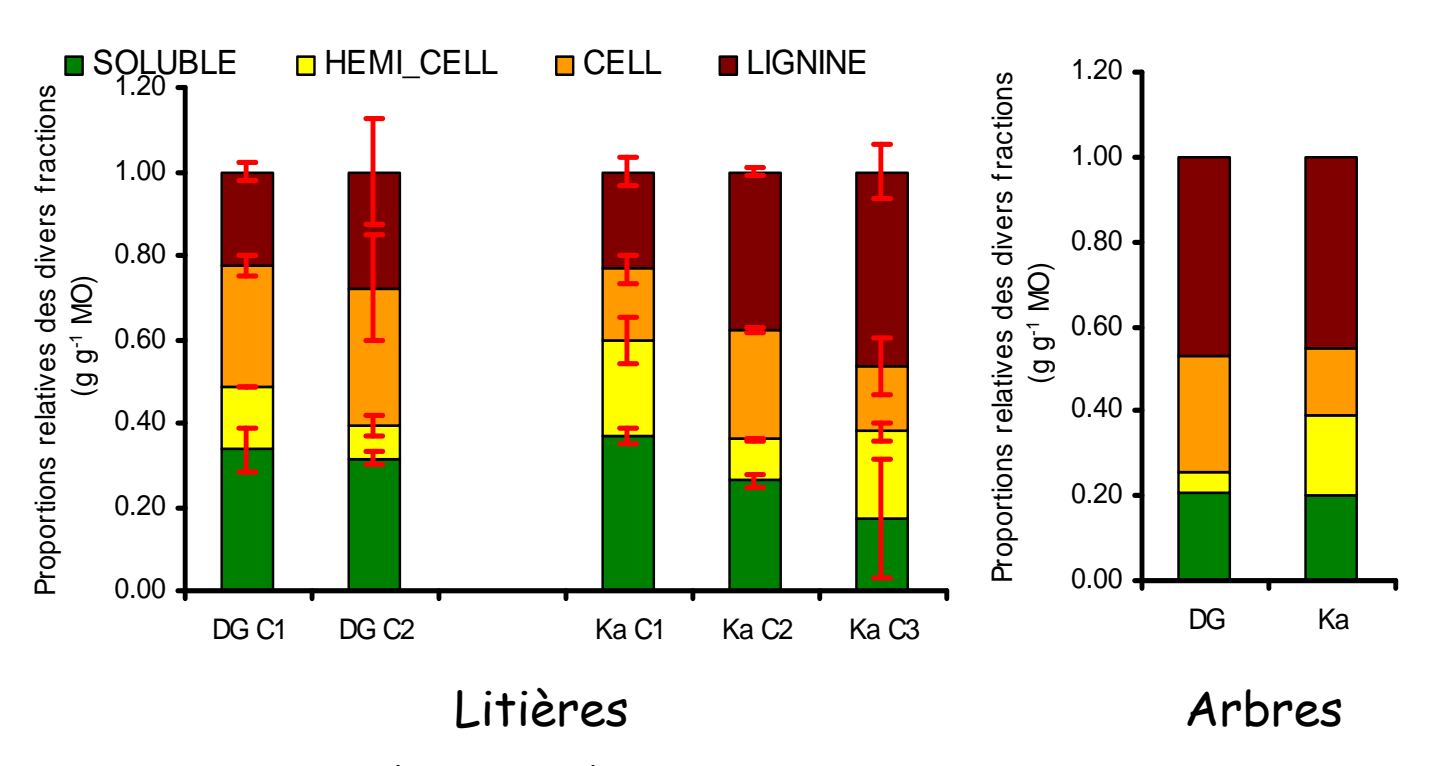
- pesées à 40°C et 100°C
- cendres résiduelles (500°C)
- Détournement de technique destinée à caractériser la valeur nutritionnelle des fourrages
- ✓ Applicable aux seuls produits solides
- ✓ Difficultés selon la texture
- Méthodologie qui a évolué dans sa technologie

Système manuel de digestion « Van-Soest » et accessoire de filtration associé.

#### Feuille de calcul pré-calculée pour la finalisation des résultats Van Soest



## Analyse pariétale des litières de filao - différentiation selon les sites.



- ✓ Particularité ou artéfact dans l'analyse des feuilles ??
- ✓ Variabilité assez forte des résultats (charge minérale ??)
- ✓ Pas d'informations particulières a/s phytotoxicité

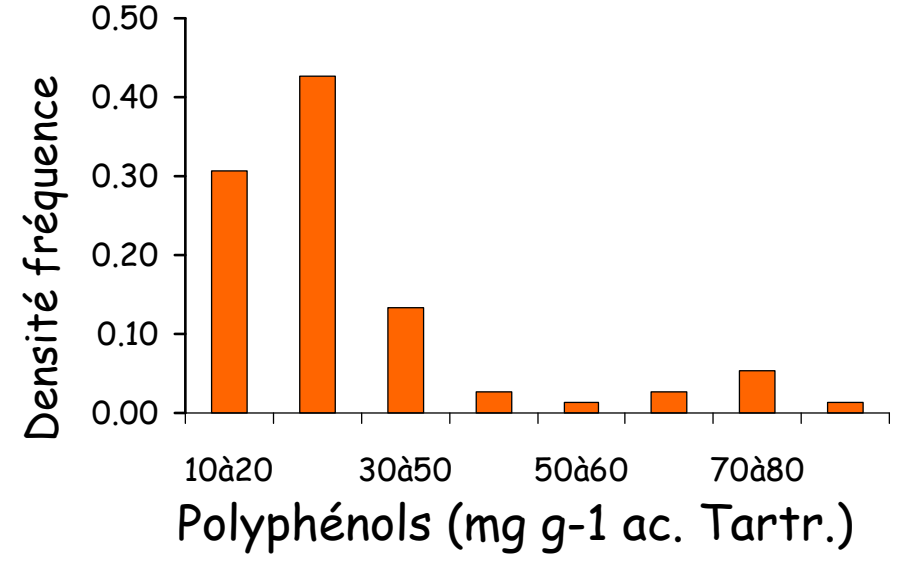
## Les polyphénols solubles totaux : autre paramètre de qualité des M.O.

#### ✓ Méthodologie

- Extraction eau(50)-méthanol(50) à 80°C pendant 1H (400 mg/40 ml)
- Transfert, lavage et ajustement à 100 ml par H<sub>2</sub>O en fiole jaugée
- Dosage par colorimétrie au réactif de Folin-Ciolcateu (manifold original) (résultats en équivalents acide tartrique)

#### Utilisation

Rapport (lignine + polyphénols totaux) / Ntotal



#### Phytotoxicité des litières de filao : mise en évidence par un test de germination.





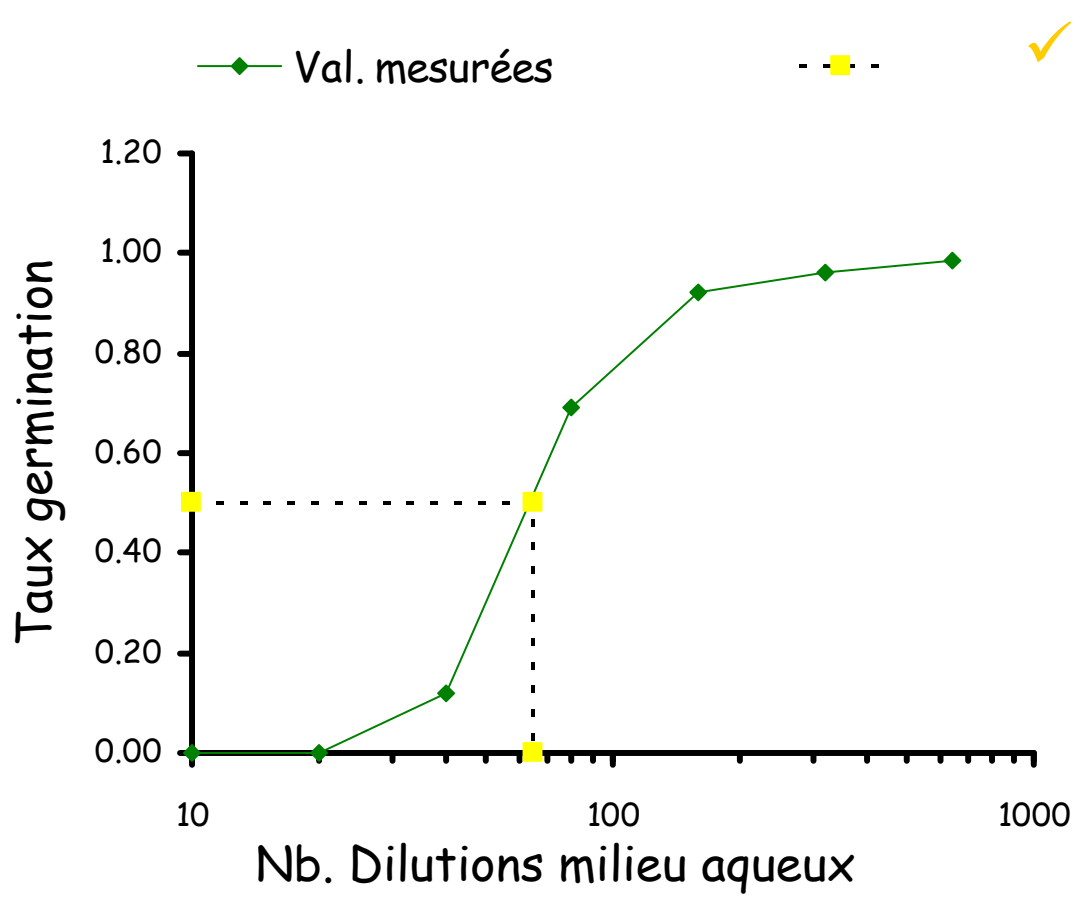
germination « cresson »

Sol + 10% litière

	Proportion de graines de cresson germées en 3 jours					
Couche	Arbres	1	2	3	4	
site D G	0.00	0.00	0.00	0.30	0.97	
Site Ka	0.00	0.00	0.06	0.84	0.99	

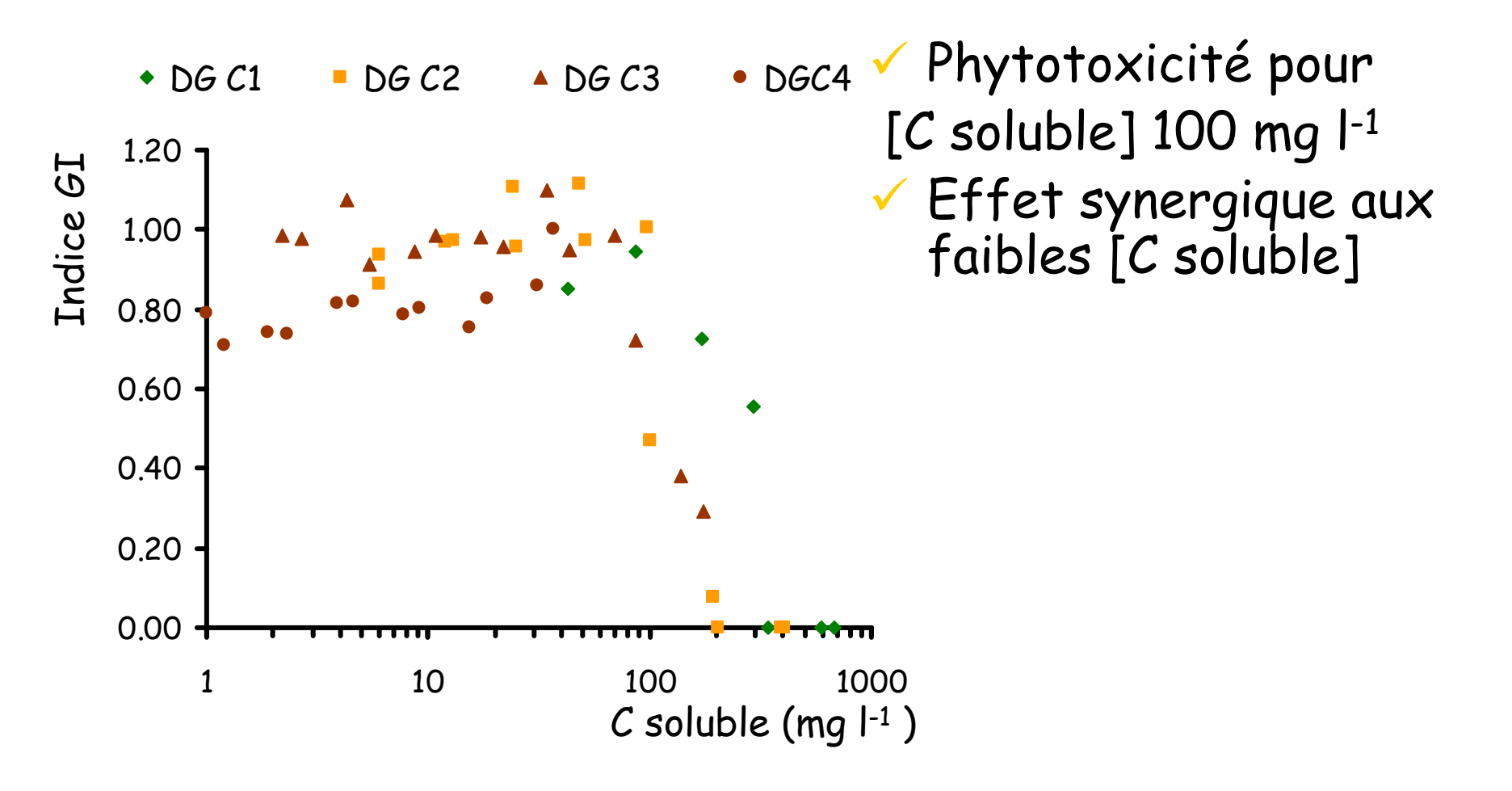
- ✓ Forte phytotoxicité des couches de litière les plus récentes
- ✓ Disparition de la phytotoxicité pour la couche la plus ancienne
- Observation qui corrobore le constat des fleuristes et pépiniéristes dakarois
- ✓ Une nécessité : Connaître les raisons et prévenir les conséquences de la phytotoxicité.

### Test de phytotoxicité à partir d'extrait aqueux de litière : Recherche d'une valeur de «DL50»

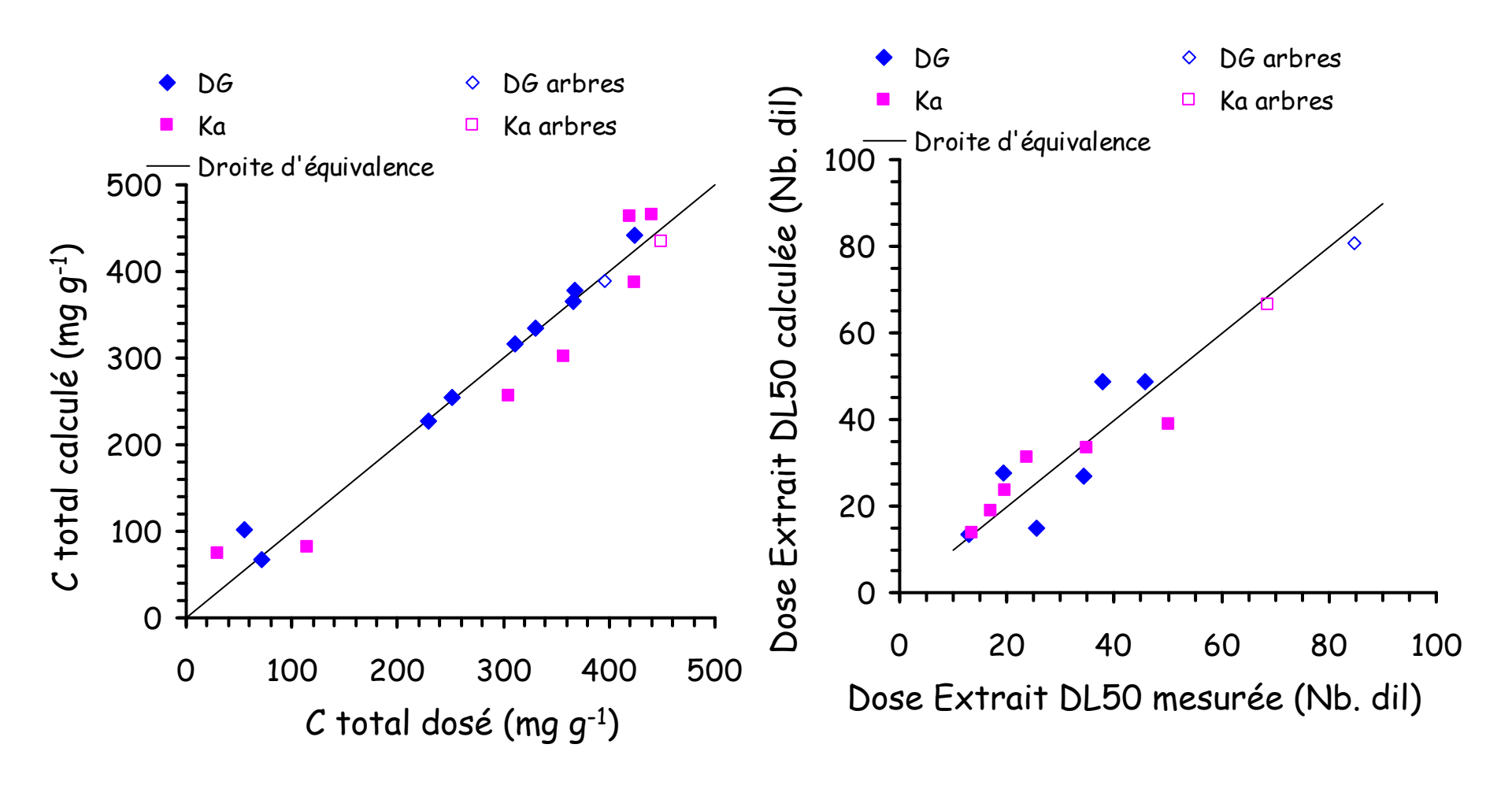


Recherche graphique du « nombre de dilutions nécessaires pour obtenir un taux de germination de 0.50 des graines de laitue.

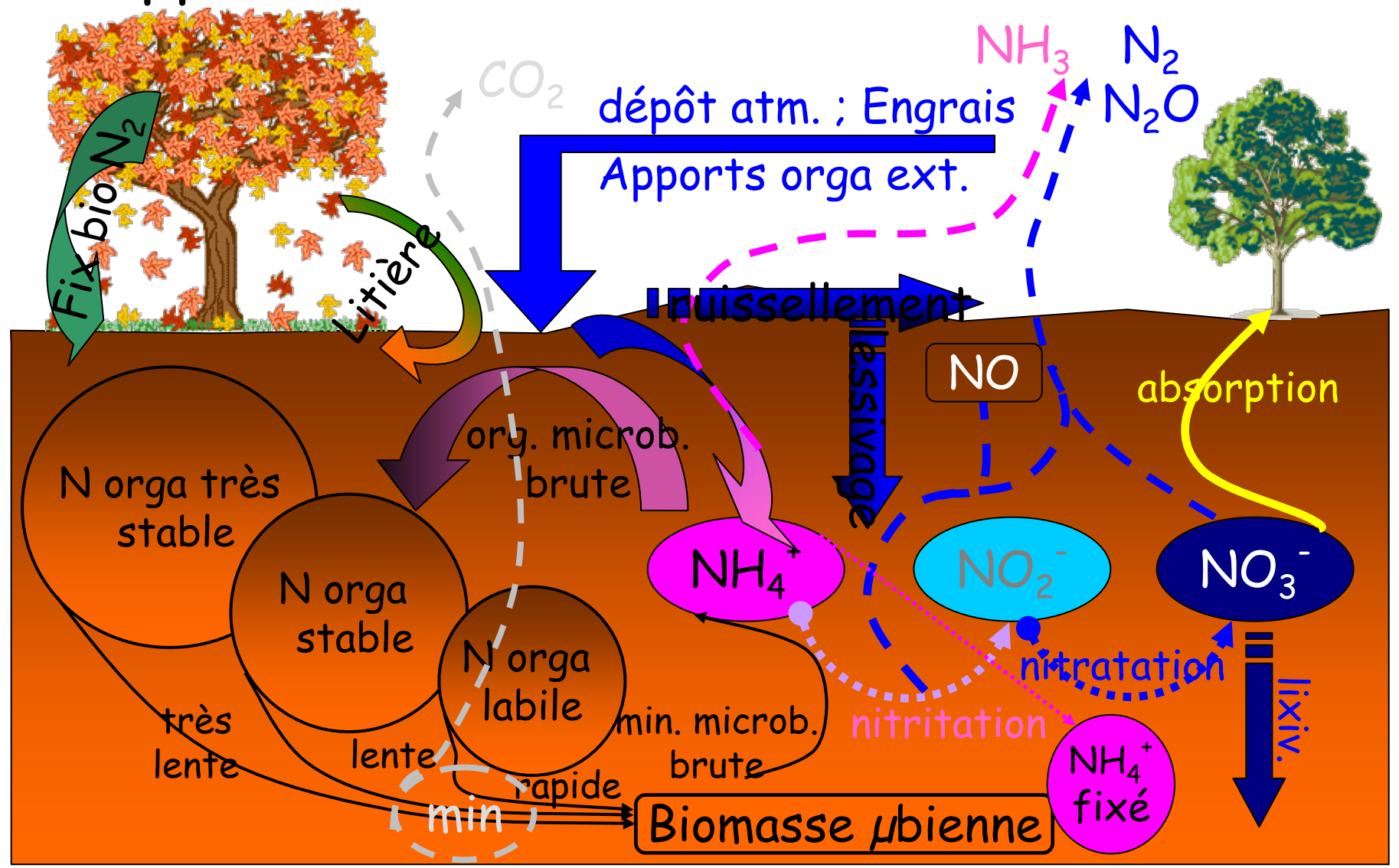
### Test de phytotoxicité à partir d'extrait aqueux de litière : Synthèse des résultats



# Spectres de réflectance dans le proche infra rouge : aperçu de la qualité des résultats



## Cycle de la M.O. : quantifier le réapprovisionnement en M.O. fraîche



#### Les litières et résidus de culture : Quantifier l'incorporation au sol

Quantification des retombées de litières : les collecteurs



Géométrie à adapter pour une bonne représentativité de la collecte

Quantification des pertes de matière : les litterbags et

cages d'exclusion





## Cages d'exclusion vs litterbags : quel choix ?

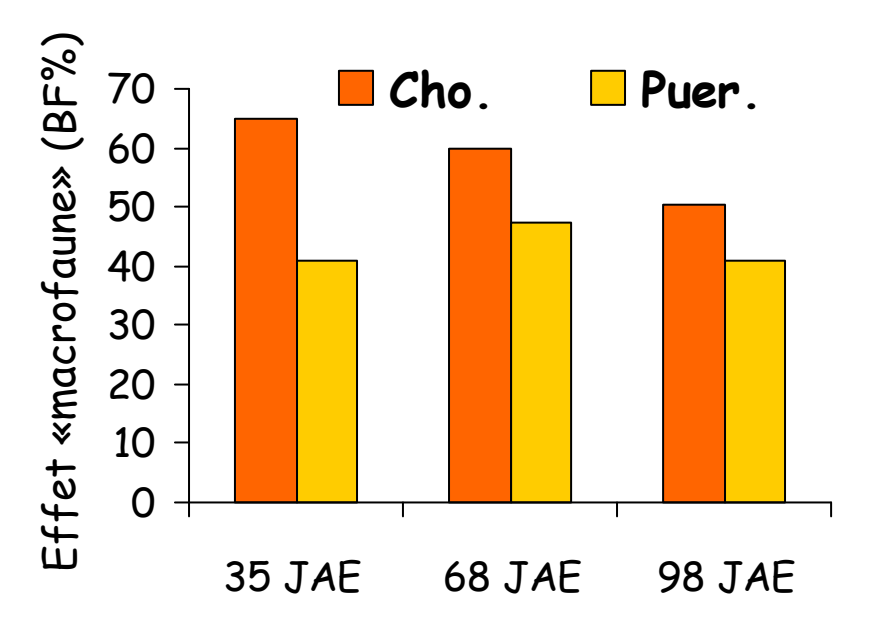


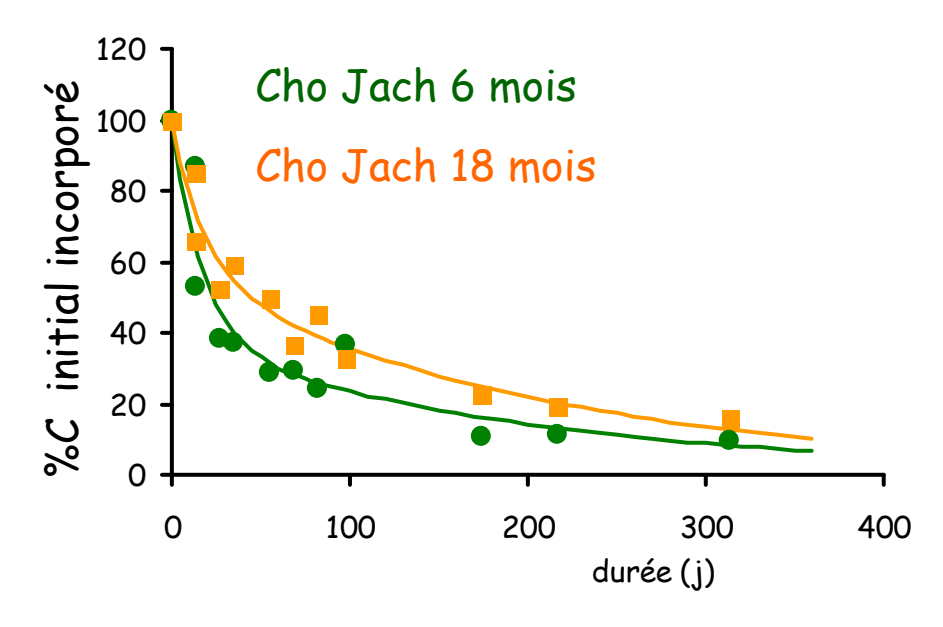


- Quantifier individuellement la quantité initiale de résidus
- ✓ Litterbags:
  - Dispositif artificialisé (humidité)
  - o Indispensables si enfouissement
  - Approche des effets de la mésofaune du sol
- Dosages C, N et cendres nécessaires



#### Biodégradation d'un mulch sous S.C.V. en Centre C.I.





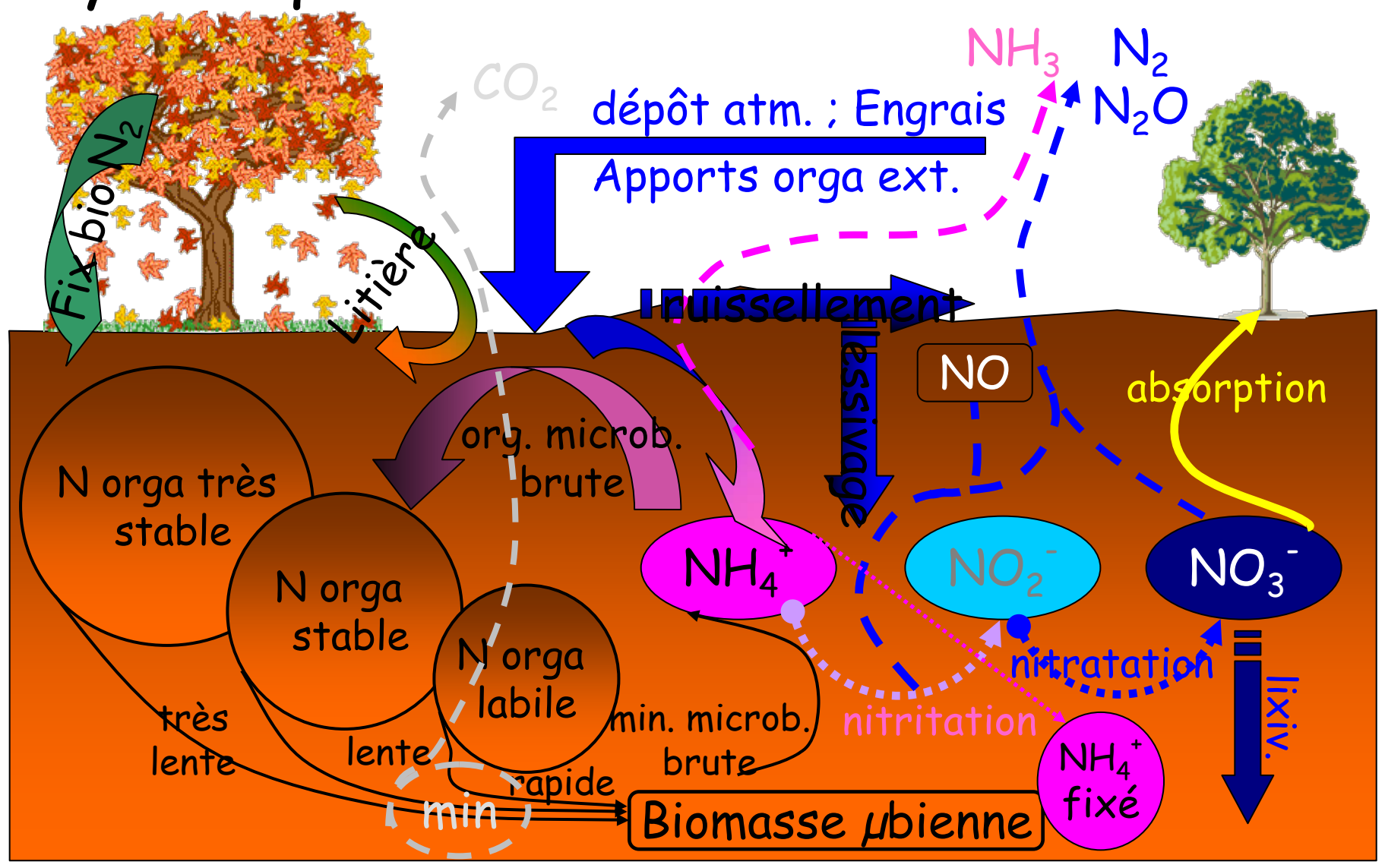
Litterbags : Quantification du rôle de la macrofaune dans l'incorporation au sol du C de la litière

BF = 100 \*(%
$$C_{0.2mm}$$
 - % $C_{2mm}$ )/(100 -  $C_{2mm}$ )

Litterbags : Modélisation de la cinétique d'incorporation de la litière au sol

Mod: 
$$A(1 - e^{-k1\dagger}) + (1-A)((1 - e^{-k2\dagger})$$

# Cycle de la M.O. : indicateurs de dynamique de minéralisation du C



### Techniques d'étude de la minéralisation de la M.O. au laboratoire et in-situ

- ✓ A partir du terrain :
  - o Evolution de la teneur en C et N total
  - o Fractionnement physique de la M.O.
  - o Cloches et/ou tunnels de confinement
- ✓ A partir d'expériences d'incubation
  - Conditions de l'incubation (°C; humid.)
  - o Etudes d'impact des apports exogènes

### [CO2]: techniques de mesure

✓ Carbonatation d'une base

$$Y X(OH)_{n}^{-} + CO_{2} \longrightarrow CO_{3} X_{y} + \frac{y}{2}H_{2}O$$

- o Dosage en retour par acidimétrie
  - Piégeage NaOH + ajout excès BaCl<sub>2</sub> + dosage HCl
  - Piégeage Ba(OH)<sub>2</sub> + dosage (COOH)<sub>2</sub>
- Facile à mettre en œuvre ; faible investissement ; pas d'inhibition par excès CO<sub>2</sub> ni réaction CO<sub>2</sub> - sol

#### ✓ Dosage direct [CO₂]

- o techniques
  - Appareil type Licor (absorption IR CO<sub>2</sub>)
  - Chromato. phase gazeuse détection catharomètre
- o Investissement de base ; connaissance du volume mis en jeu; détermination directe; combinaison avec autres suivis (NH $_3$ ; N $_2$ O)

### [CO2]: dispositifs de piégeage



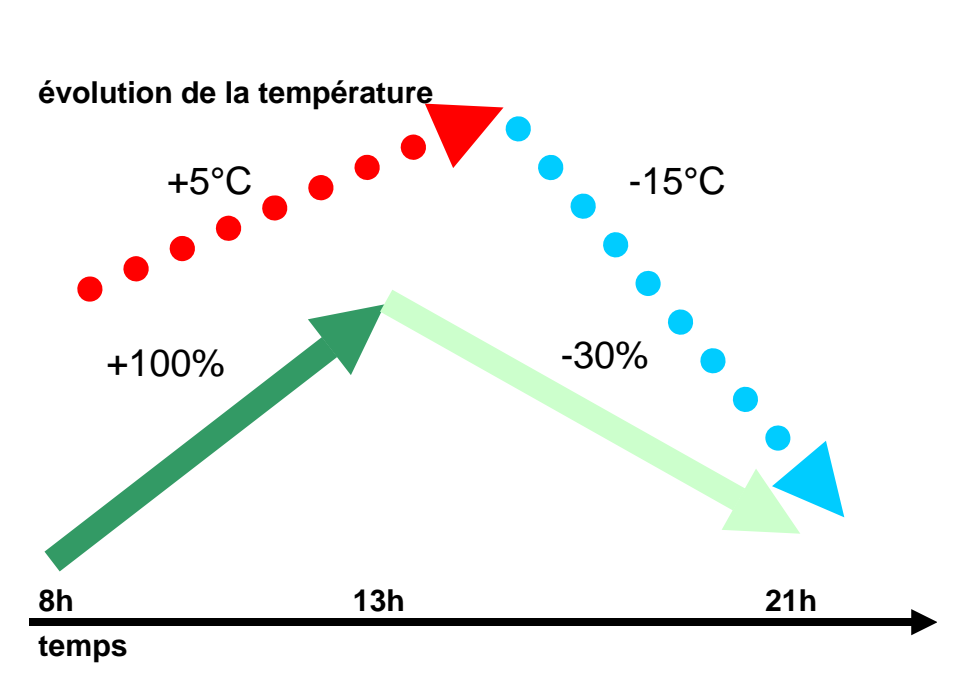
Cloche de piégeage sur le terrain connectée à un appareil IR Licor

- ✓ Volume de la cloche ~8 litres
- ✓ Durée de piégeage
  - o CO2: 30 minutes (2 à 4 privts)
  - N2O: 1 à 2 heures (2 à 4 privts)
- Autres techniques : Tunnels ventilés automatisés



Base de la cloche installée et privt de gaz dans le sol

## Flux de CO<sub>2</sub> sur le terrain : rythme circadien et effet ponctuel des techniques



Effet d'un labour sur le flux de  $CO_2$  (mg C m<sup>-2</sup> heure<sup>-1</sup>)

1 heure après labour : 330 1 jour après labour : 125 (moyenne sur 3 mois : 140)

évolution des flux de CO<sub>2</sub>

Metay 2002 : riz pluvial Cerrados Brésiliens

### [CO2]: dispositifs de piégeage



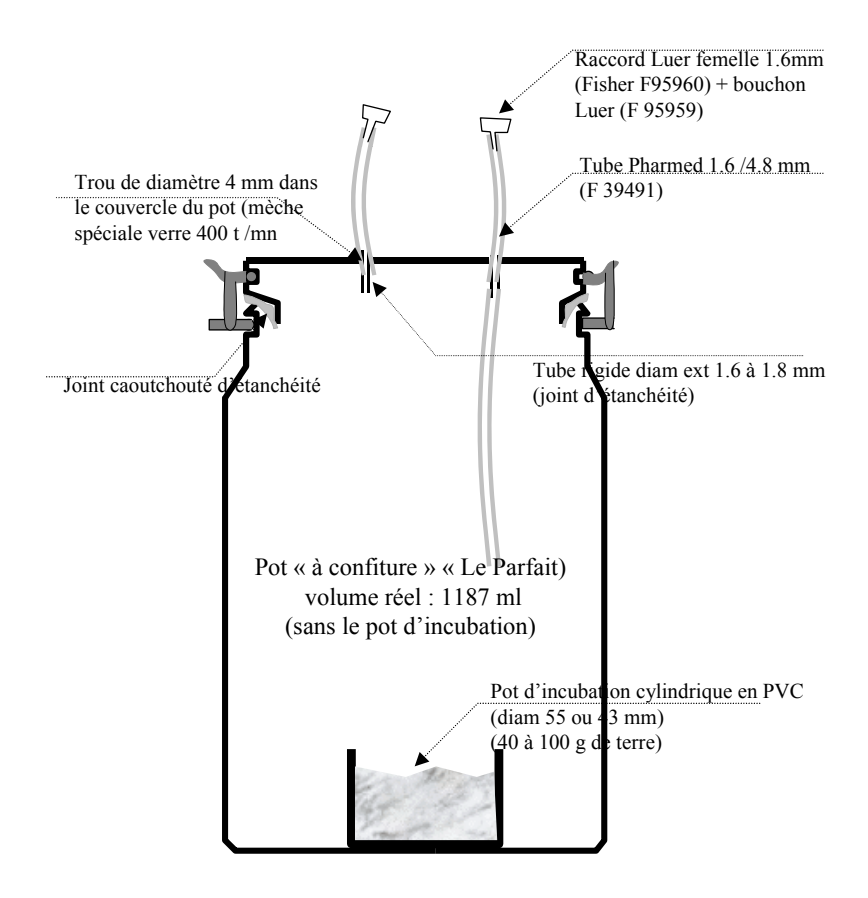
Enceinte fermée avec piégeage par NaOH

### [CO2]: dispositifs de piégeage

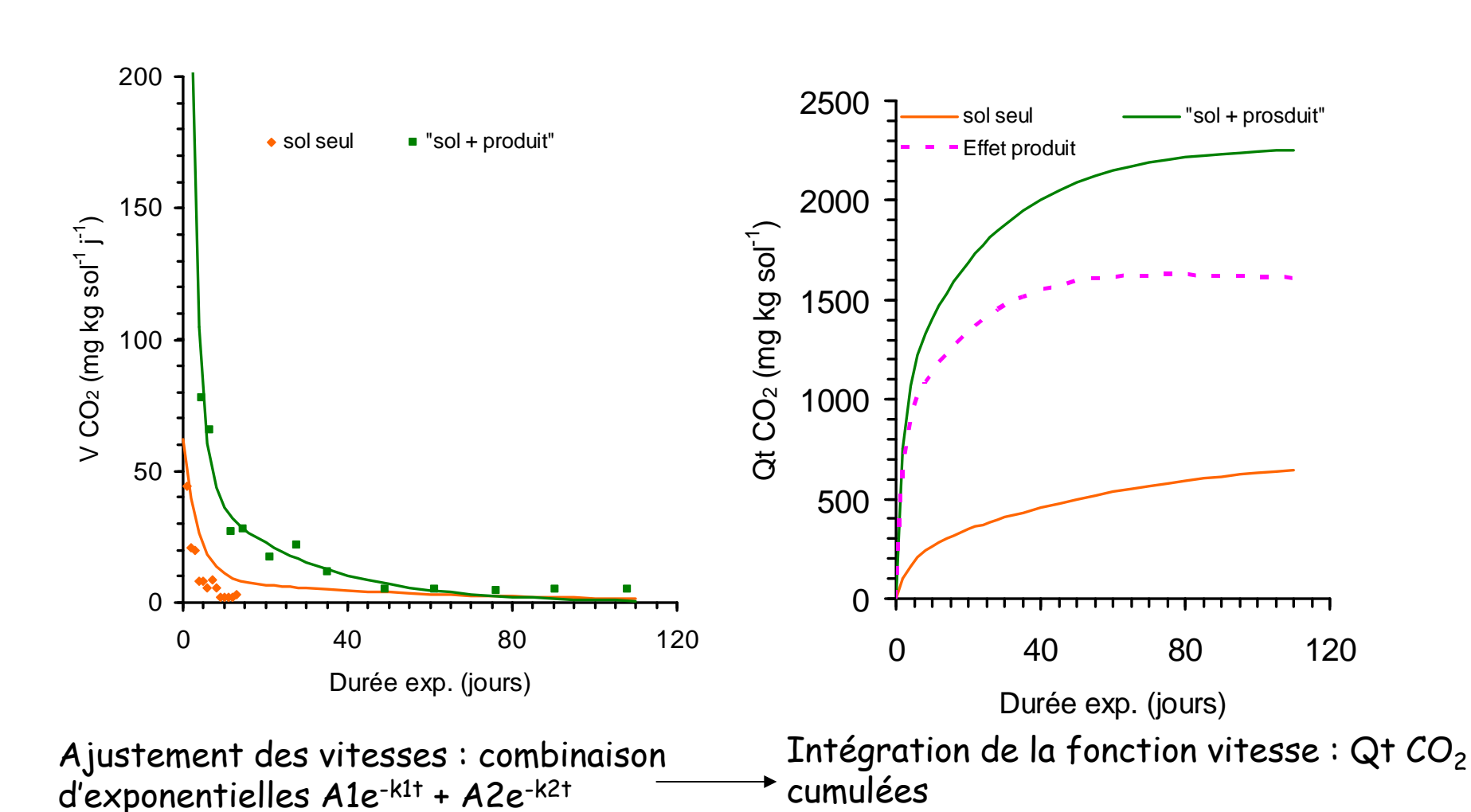




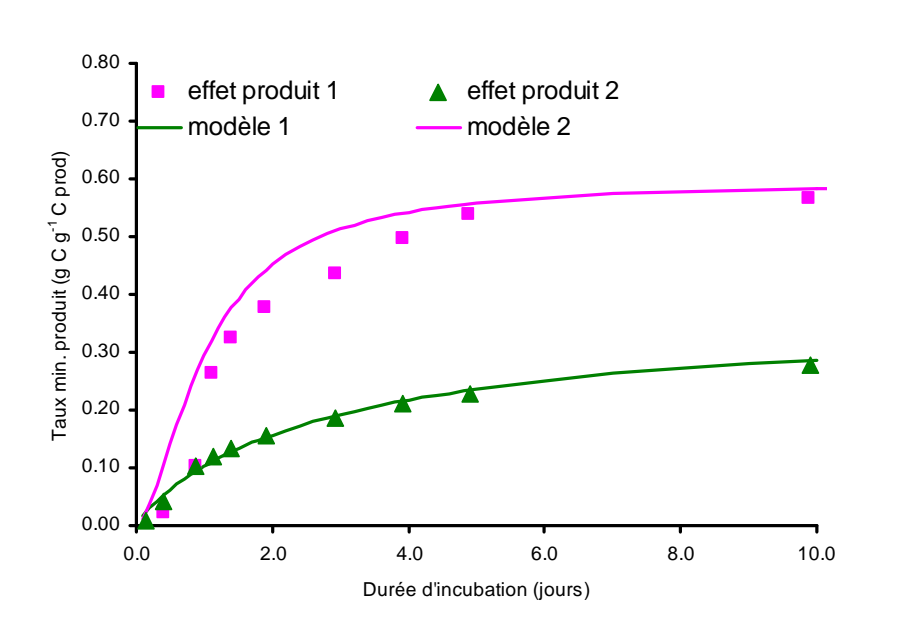
### Enceinte fermée avec ajutages de connexion à un CPG

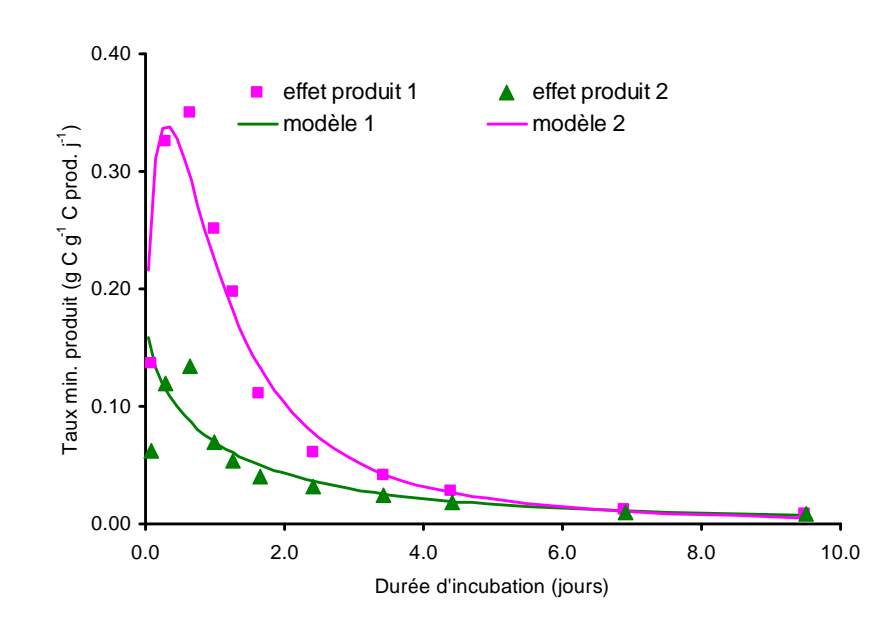


# minéralisation en laboratoire : vitesses et quantités de CO2 cumulées.



## Minéralisation en laboratoire : cinétique en temps courts « effet démarrage »

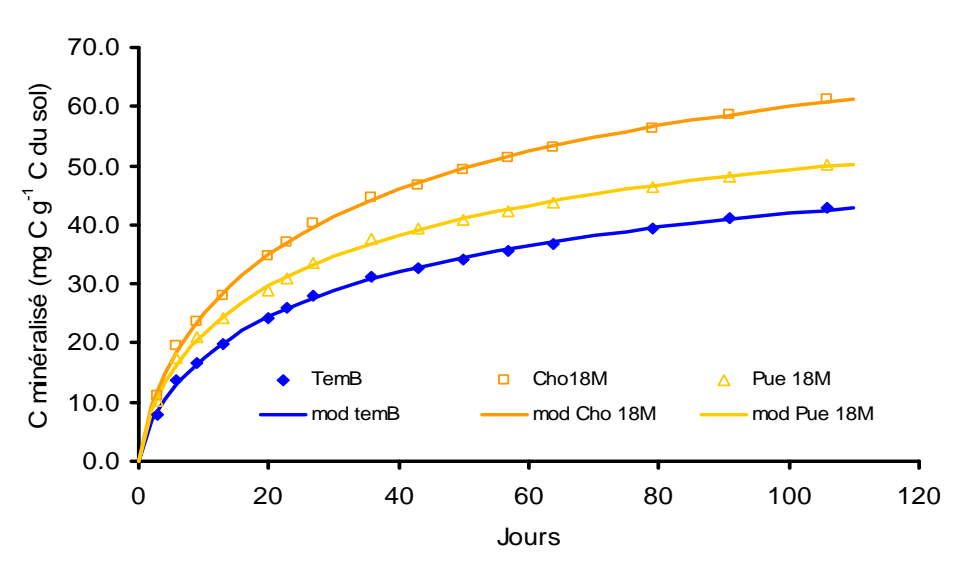




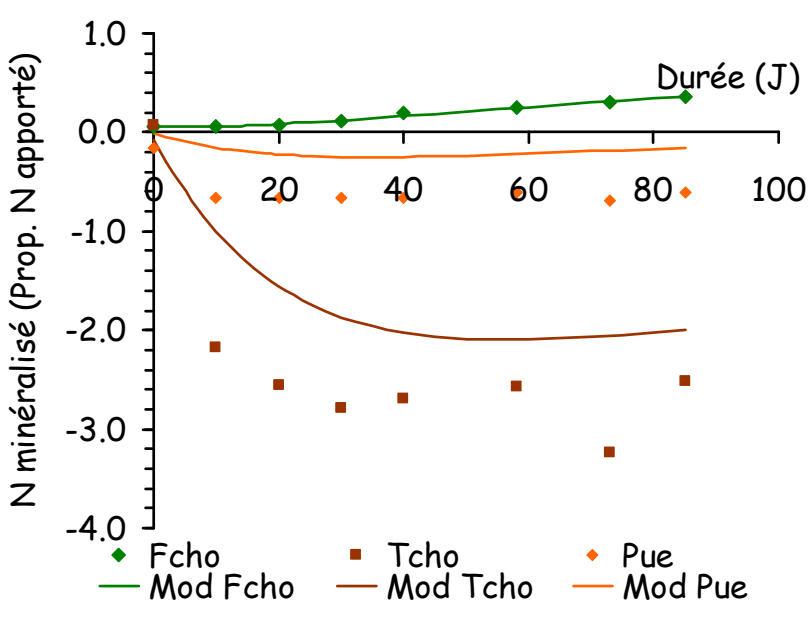
Modélisation logistique du taux cumulé de minéralisation du C

Vérification de l'établissement progressif de la minéralisation du produit : installation de la biomasse zymogène

# Expériences de minéralisation en laboratoire : prévoir et modéliser.



Minéralisation des horizons de surface d'un sol ferrallitique sous divers systèmes de culture

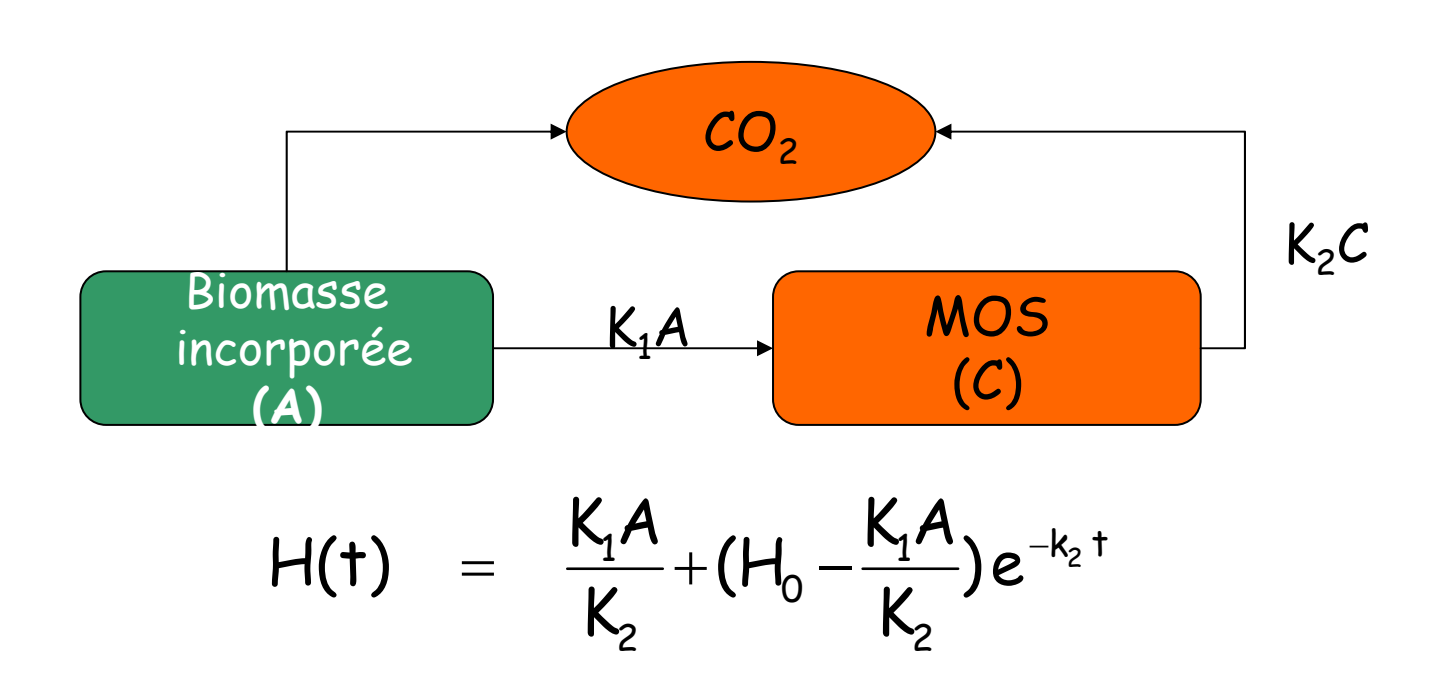


Incorporation de litières fraîches de Pueraria et Chromoleana : immobilisation temporaire de N

Modélisation Dynamique C et N

<u>Source</u> : thèse P. Autfray.

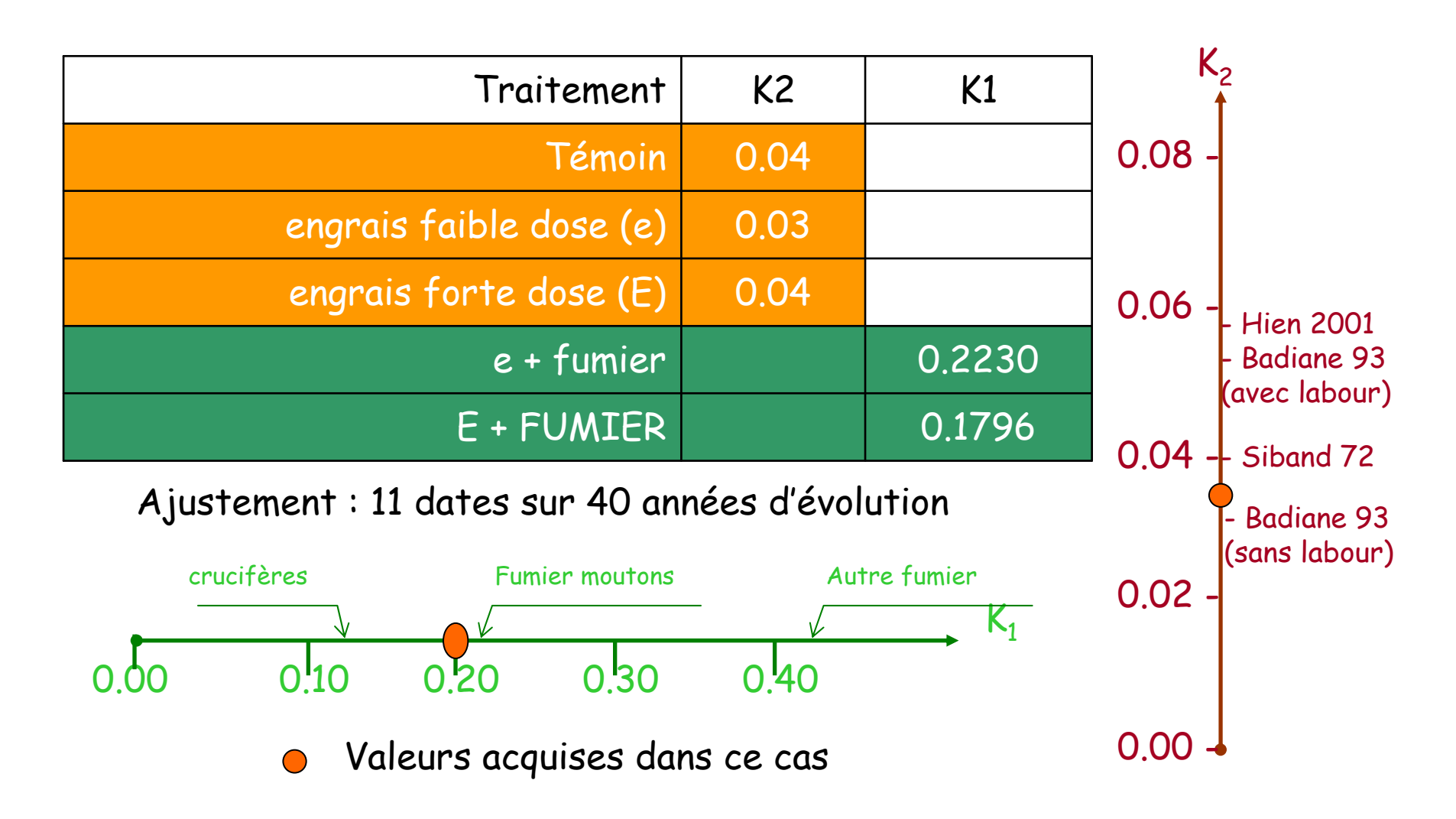
# Caractériser les évolutions : modéliser un modèle simple (Hénin-Dupuy)



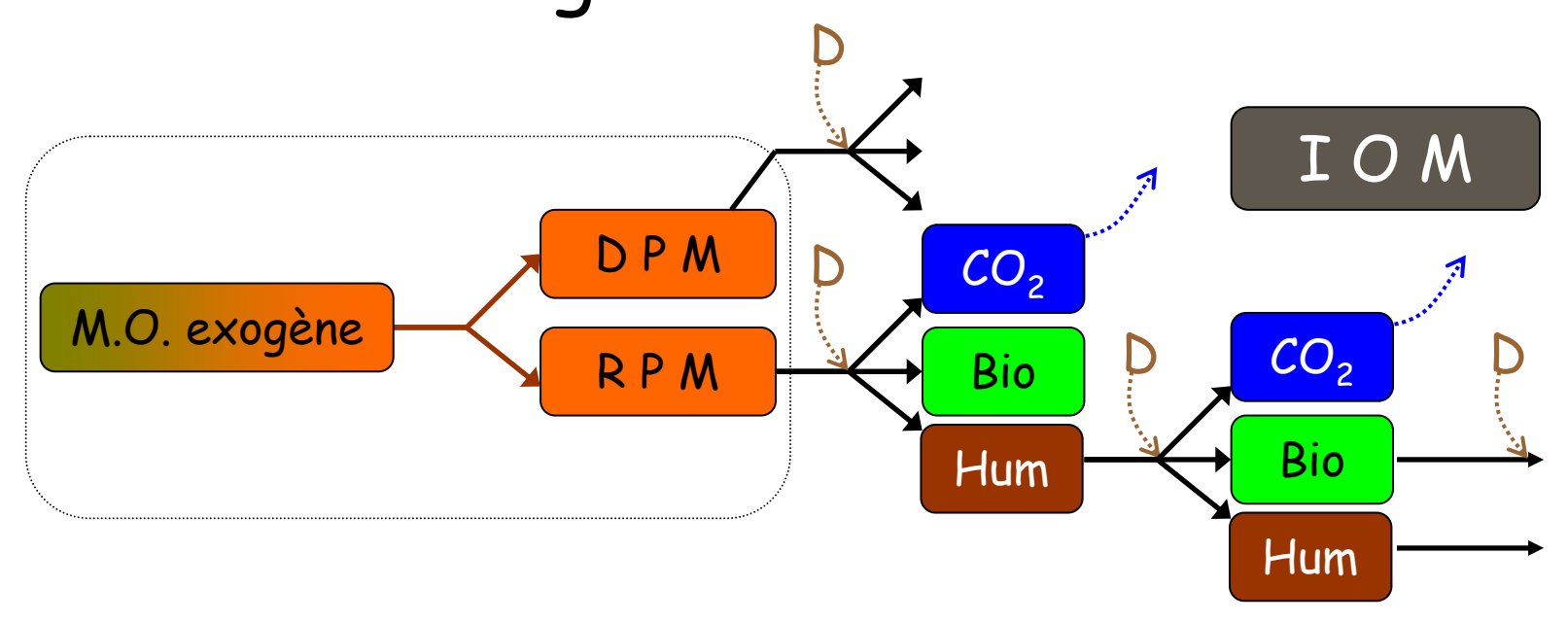
$$H_0 = 20.6 \text{ t ha}^{-1}$$

 $K_1$  racines = 0.15

### Exemple : détermination des coefficients K1 (acrisol BKF) et K2 (fumier de parc)



RothC: prévoir l'évolution des apports de M.O. exogènes



Bio: biomasse µbienne

Hum: M.O. humifiée

Décomposition : Y = YO e -abck t<sub>(mois)</sub>

DPM: M.O. décomposable

RPM: M.O. résistante

IOM: M.O. inerte

a : facteur température

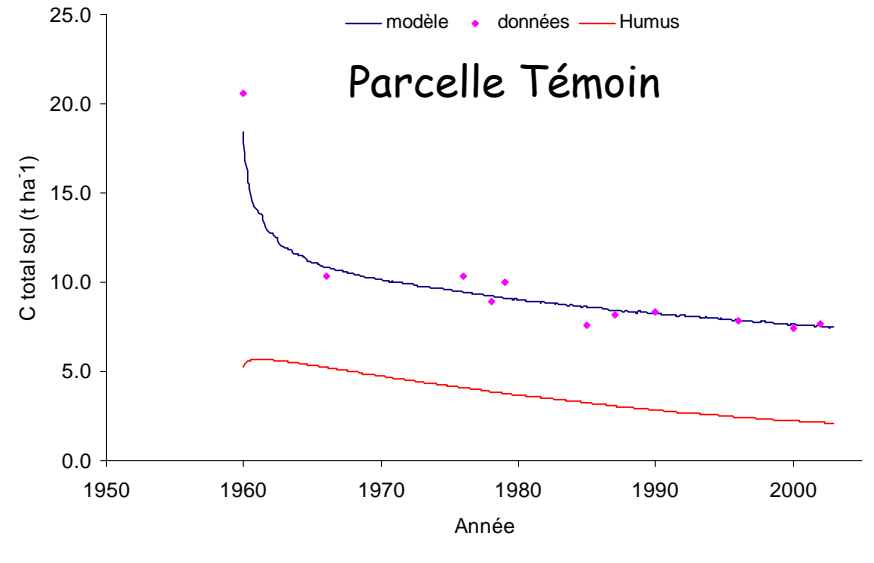
b : facteur humidité

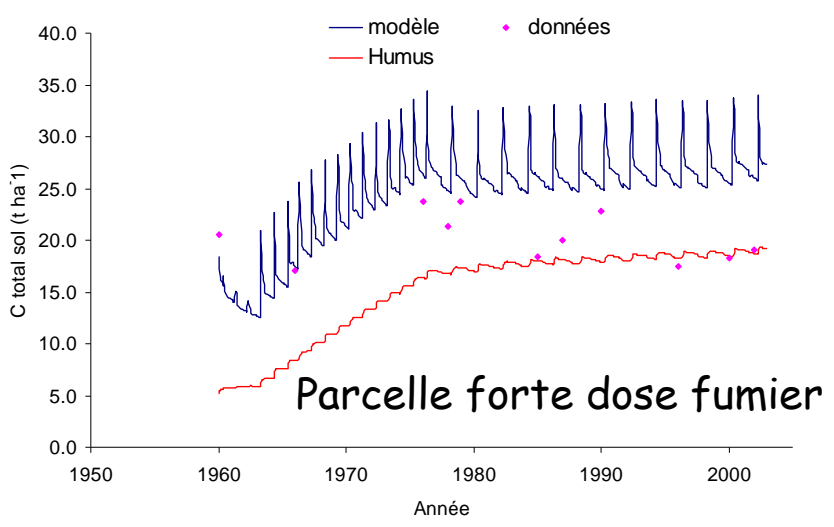
c: facteur « couverture du sol »

K: constante de minéralisation du

ompartiment

### Prévision de l'évolution du C d'un acrisol du Burkina Faso avec et sans apport de fumier

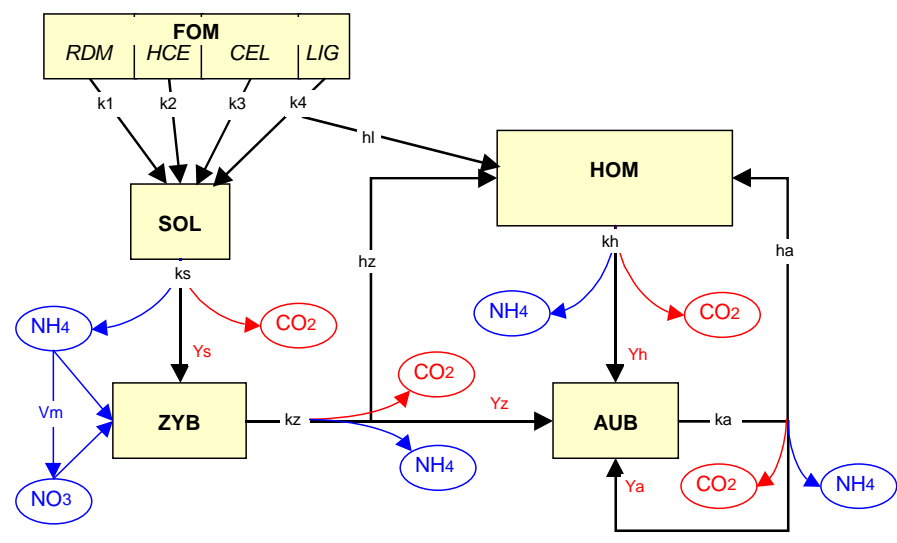




- ✓ Incertitudes sur l'état initial (prlvt jachère voisine)
- ✓ Simulation convenable de la parcelle « témoin »
- Ecarts à la réalité dans le cas de forts apports de fumier
  - Hypothèses avancées : réalité des apports
  - o Effet de la macrofaune
  - Qualité du fumier (constante K inadaptée)
  - « dispersion » des apports

## Cantis\*: meilleure prise en compte de la nature des M.O. (composition biochimique)

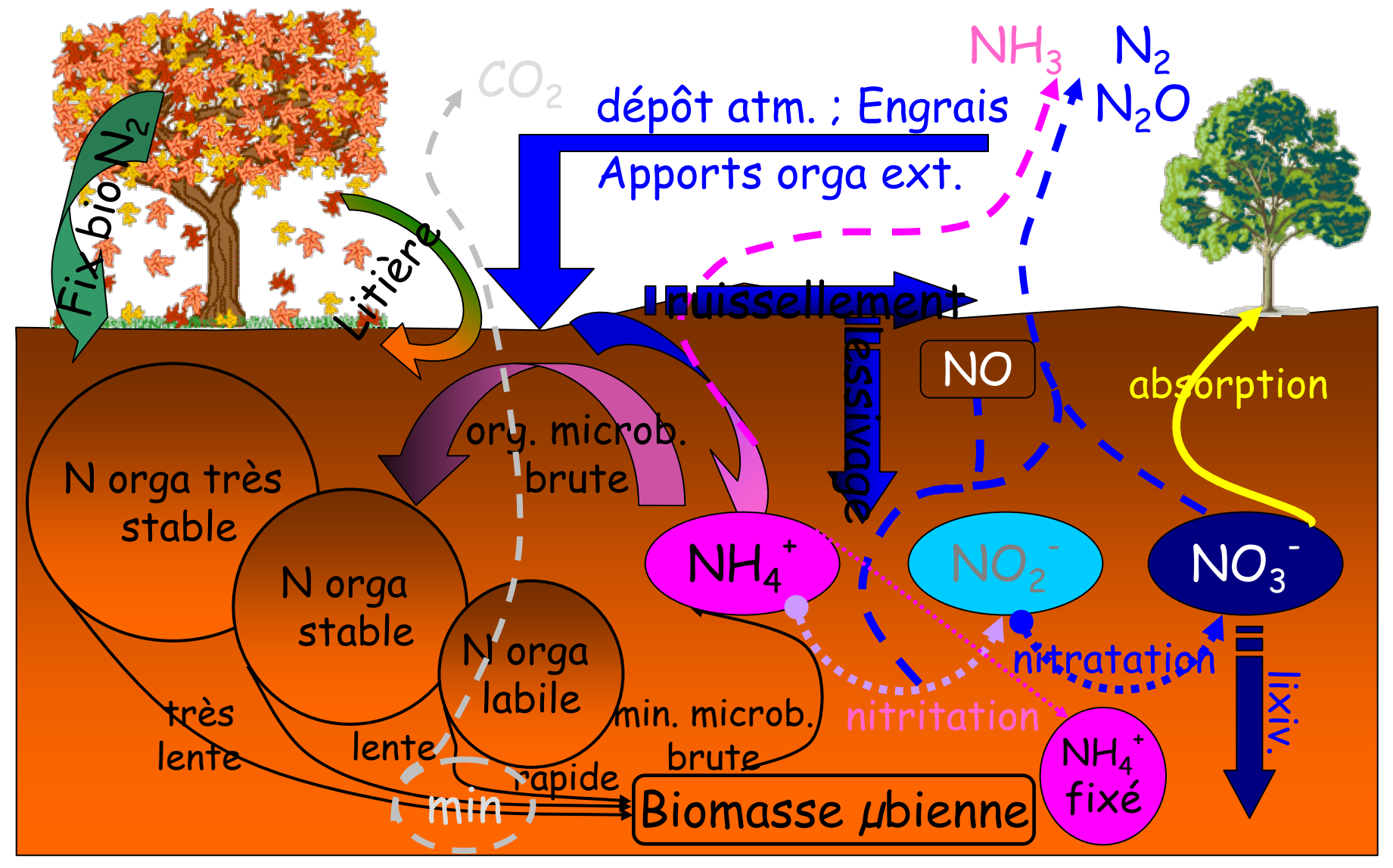




- ✓ Prise en compte de la composition « pariétale » (Van Soest)
  - K spécifique par compartiment
  - o Module spécifique pour mulch
  - Deux pools de biomasse µbienne
    - O Autochtone (AUB) humus
    - O Zymogène (ZYG) M.O. exogène
    - Biom µbienne morte décomposée par AUB
- $\frac{d\mathcal{C}_i}{dt} = -k_i \mathcal{C}_i f_B f_N f_T f_W$   $\begin{cases} f_B : param. contact sol-produit \\ f_N : param. Insuf. N min \\ f_T : param. Température \\ f_W : param. Humidité \end{cases}$

<sup>\* :</sup> Développé par l'INRA (Garnier et al 2001)

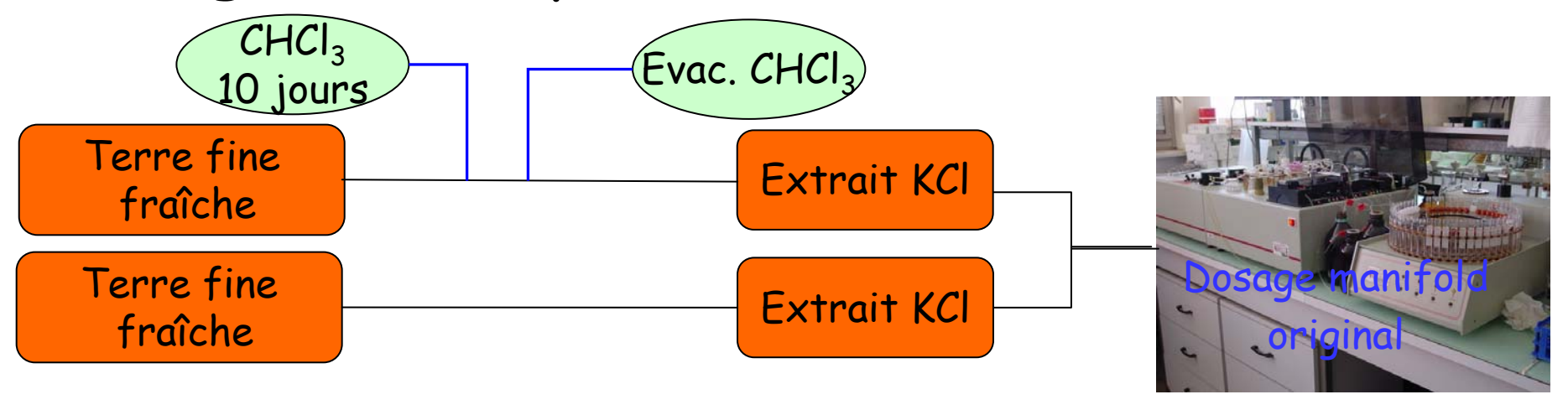
## La biomasse microbienne : un acteur essentiel difficile à saisir



### Techniques de caractérisation de la biomasse microbienne

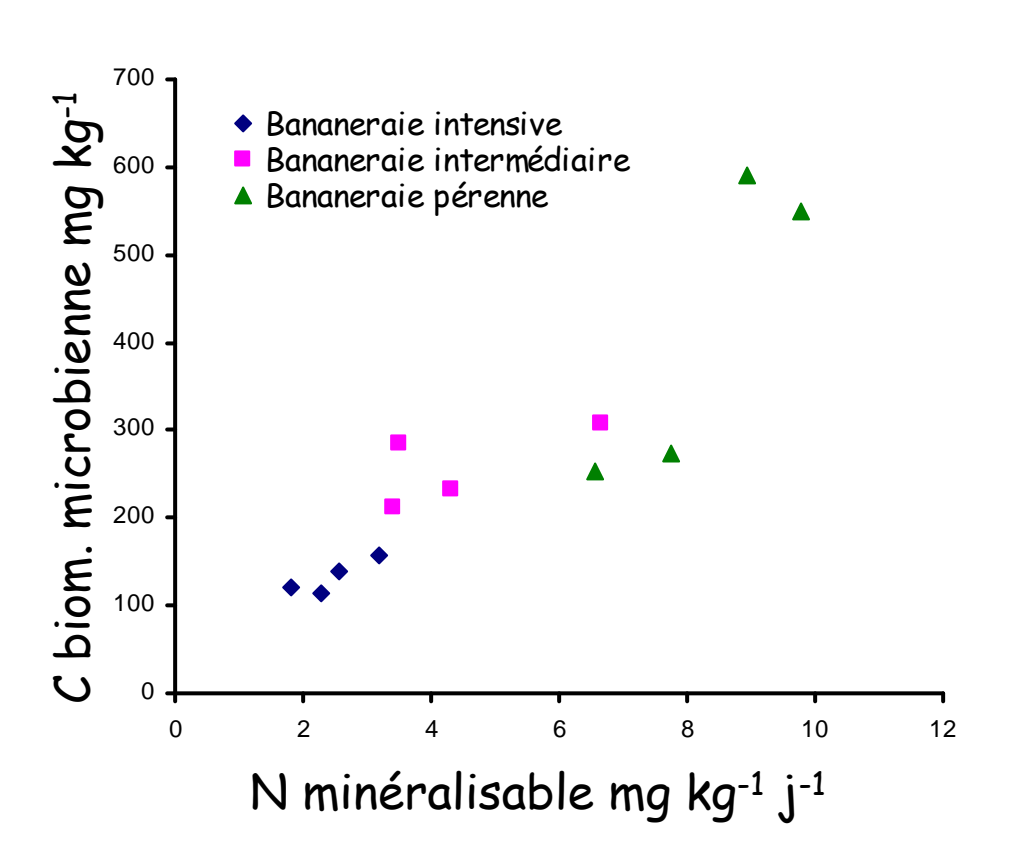
- ✓ Dénombrement
  - o Comptages direct sous microscope
  - o Comptage de colonies sur milieu de culture
    - Dépendant de la composition du milieu
    - Sensibilité biom. zymogène vs biom. autochtone
    - Identification par culture sur milieux sélectifs
- Méthodes indirectes d'estimation
  - Dosages de composés spécifiques (expl. : ergostérol de la biomasse fongique)
  - Méthodes par fumigation
    - Fumigation incubation et mesure activité métabolique relativement à un échantillon non fumigé.
    - Fumigation extraction et dosage d'indicateurs de présence de la produits de lyse des  $\mu$ organismes sur echts fumigés vs non fumigés
      - Dosage  $C_{tot}$ , Nto<sub>t</sub> sur extrait  $K_2SO_4$
      - Dosage N alpha-aminé sur extrait KCl
  - Respiration induite par le substrat
    - Ajout de glucose et détermination du surplus d'activité (CO<sub>2</sub>) par rapport sol seul

## Technique fumigation-extraction et dosage de N alpha-aminé.

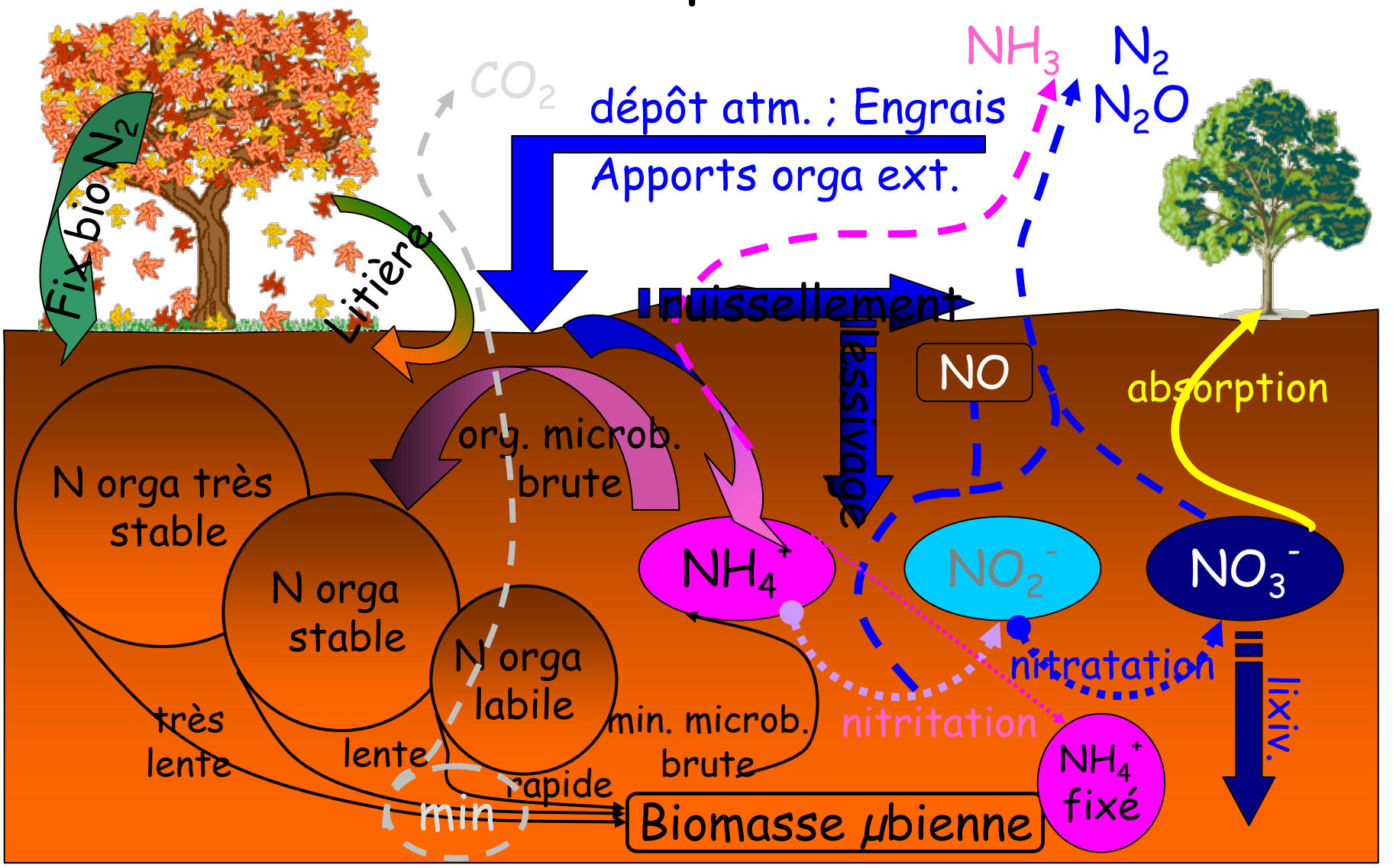


- ✓ Matériel nécessaire
  - o hotte et pompe à vide
  - o dessicateur en verre
  - o matériel pour l'extraction de N minéral

### Biomasse microbienne et N minéralisable en bananeraies martiniquaise



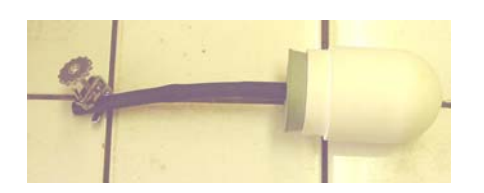
# Cycle de la M.O. : mesurer les fuites de N minéral hors du profil cultural

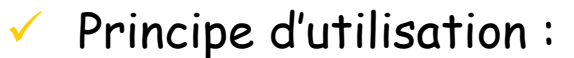


## Les pertes par lixiviation : outils de prélèvement de la solution du sol.



Mise en place au Brésil





- o solution du sol éch. avec H<sub>2</sub>O distillée (10 jours)
- Mesure simultanée (complet) ou non Tension-[solt. Sol]

#### Implantation

- Traitements: Offset; SD; Labour + enfouissement
- Implantation parfois difficile sinon impossible
- o 2 côtes au moins par site (tensio.)

#### ✓ Suivi

- Doit être associé à l'étude des flux hydriques
- Aléas divers : (décrochage)Analyses : NH<sub>4</sub><sup>+</sup> ; NO<sub>3</sub><sup>-</sup> ; tension

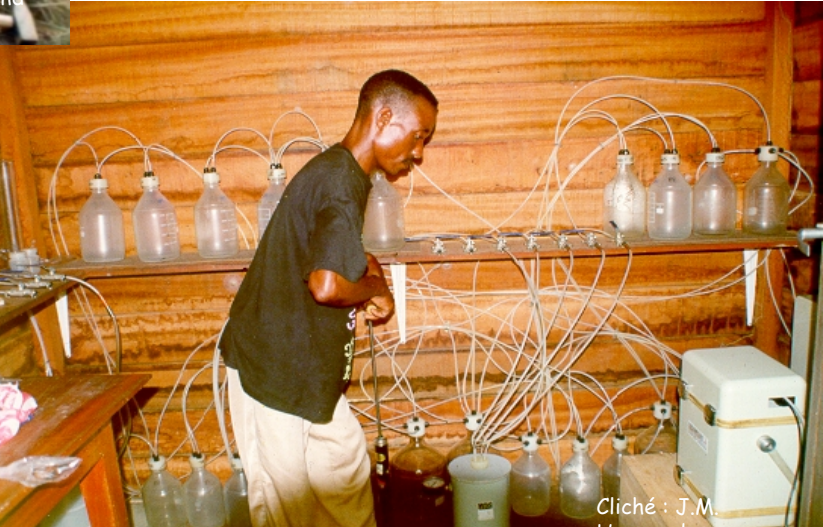


## Collecte de la solution du sol : fosses lysimétriques au Congo



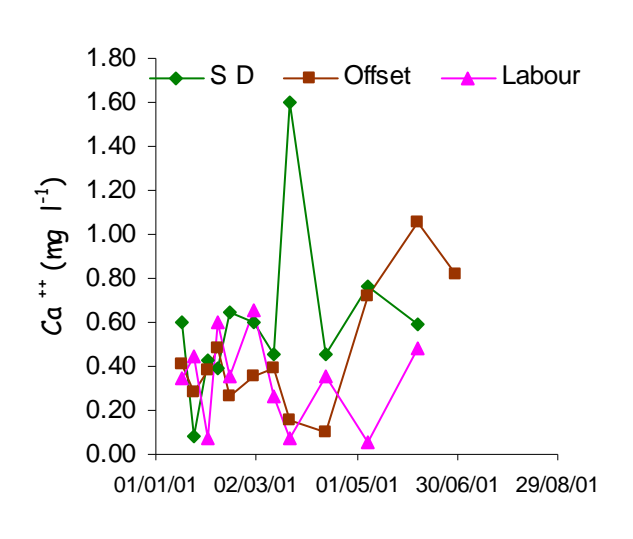
dispositif d'interception du flux de solution

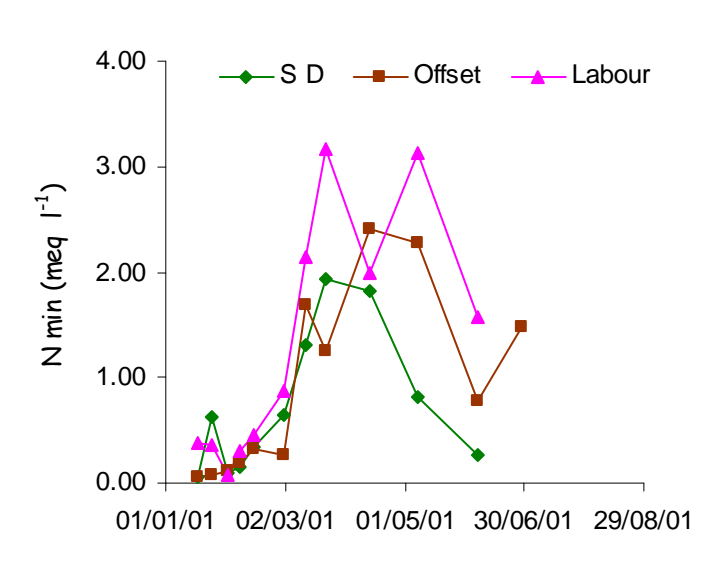
- √ dispositif « lourd »
- contraintes de terrain importantes



Fosse de collecte des solutions

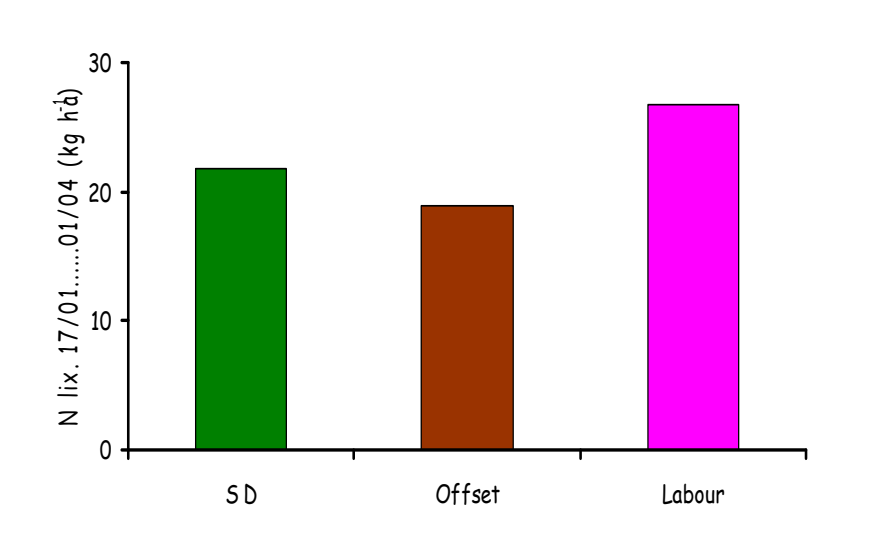
### Tensionics: évolution de la [él]





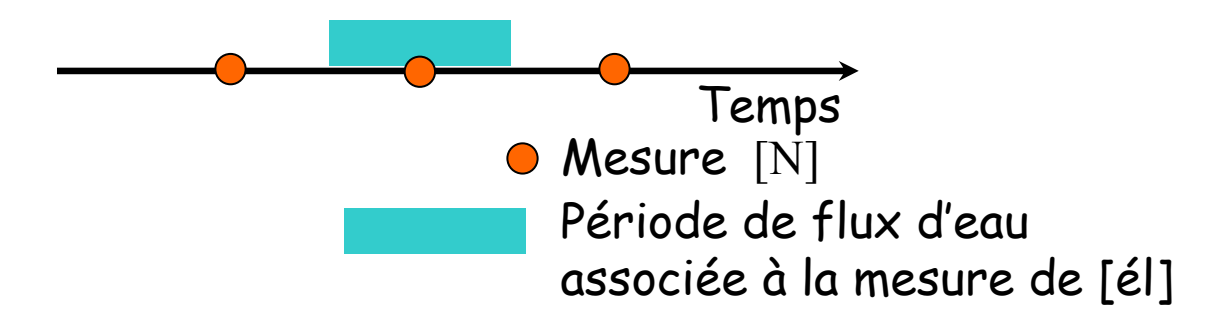
- ✓ Dynamique « régulière » pour N min
  - Différenciation des dynamiques selon les techniques culturales
- ✓ Pics importants ponctuels de K<sup>+</sup>; Cl<sup>-</sup>; Ca<sup>++</sup>

## Lixiviation: Estimation des quantités lixiviées

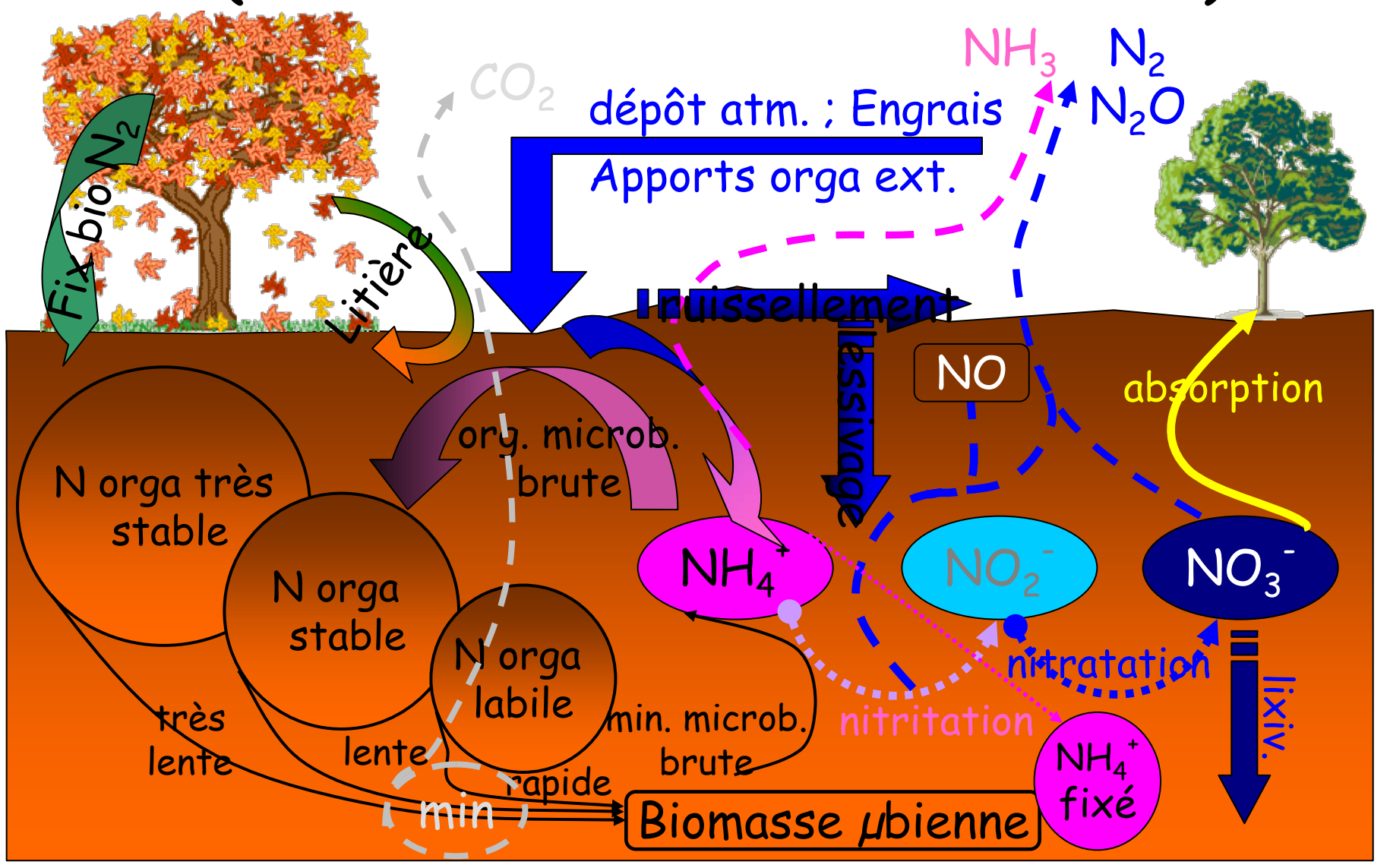


#### ✓ Base de calcul :

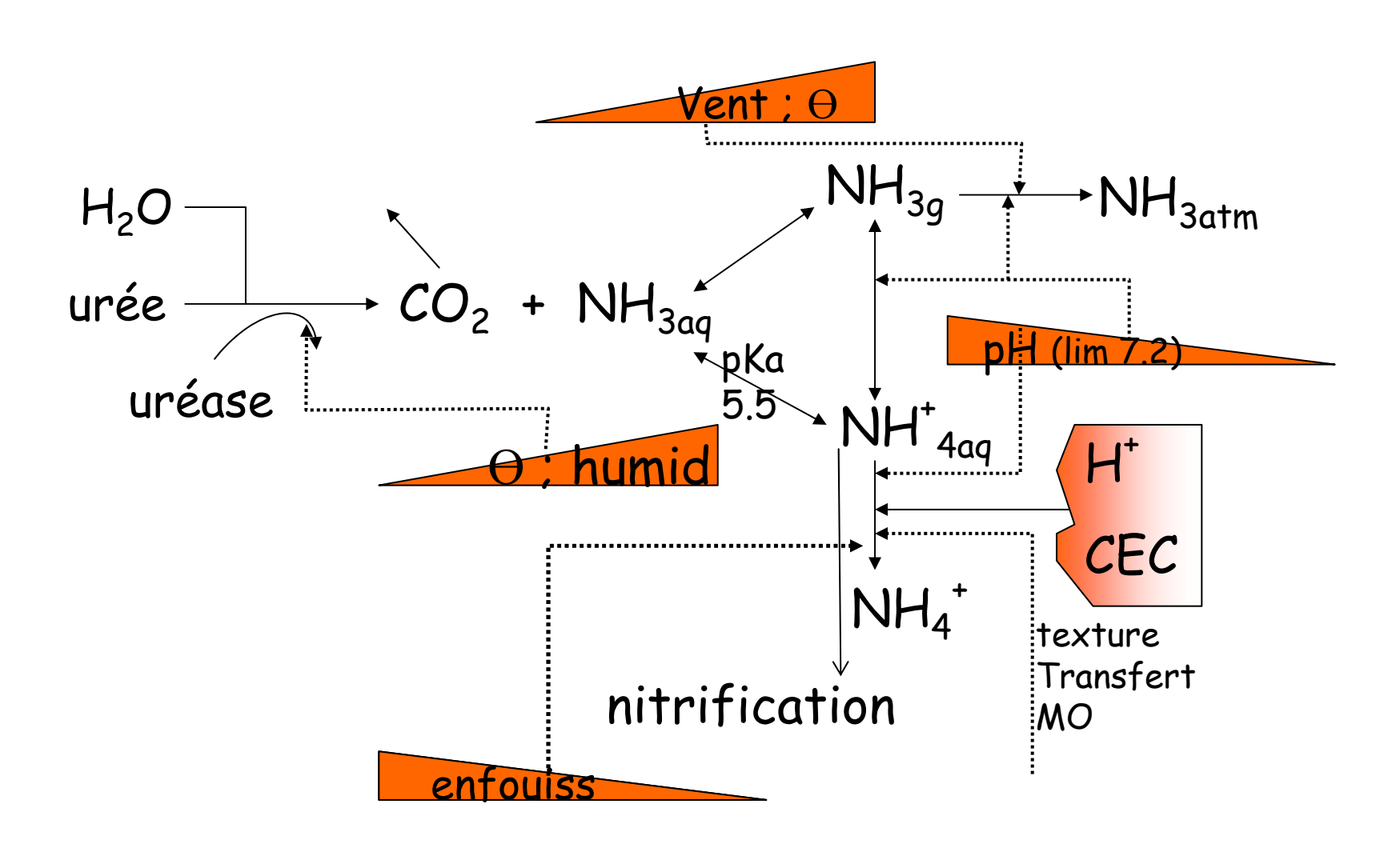
- o drainage « issu du modèle »
- o [N] de la solution du sol =  $N-NH_4^+ + N-NO_3^-$
- Intrapolation linéaire de N entre deux mesures
- Flux = drainage \* [N]



# Cycle de la M.O. : fuites gazeuses de N (volatilisation-dénitrification)



## Les conditions de la volatilisation : apports d'urée en conditions d'aérobiose

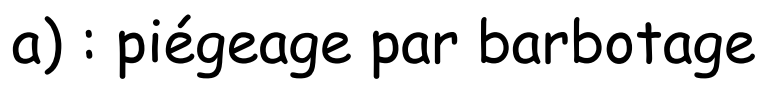


### Volatilisation: méthodes d'études

- ✓ Sur le terrain :
  - Tour micro-météo : (piégeage NH₃ à divers étages ; exploitation...)
  - Tunnels: (surface délimitée; piégeage d'une aliquote du flux circulant)
  - Pièges ponctuels
- ✓ En microcosmes:
  - Pièges à circulation (barbotage)
  - Pièges statiques (papier filtre imbibé H<sub>2</sub>SO<sub>4</sub>)
    - Simplicité; sensibilité modulable; prbls géométrie dispositif

# Volatilisation: microcosmes et dispositifs de piégeage







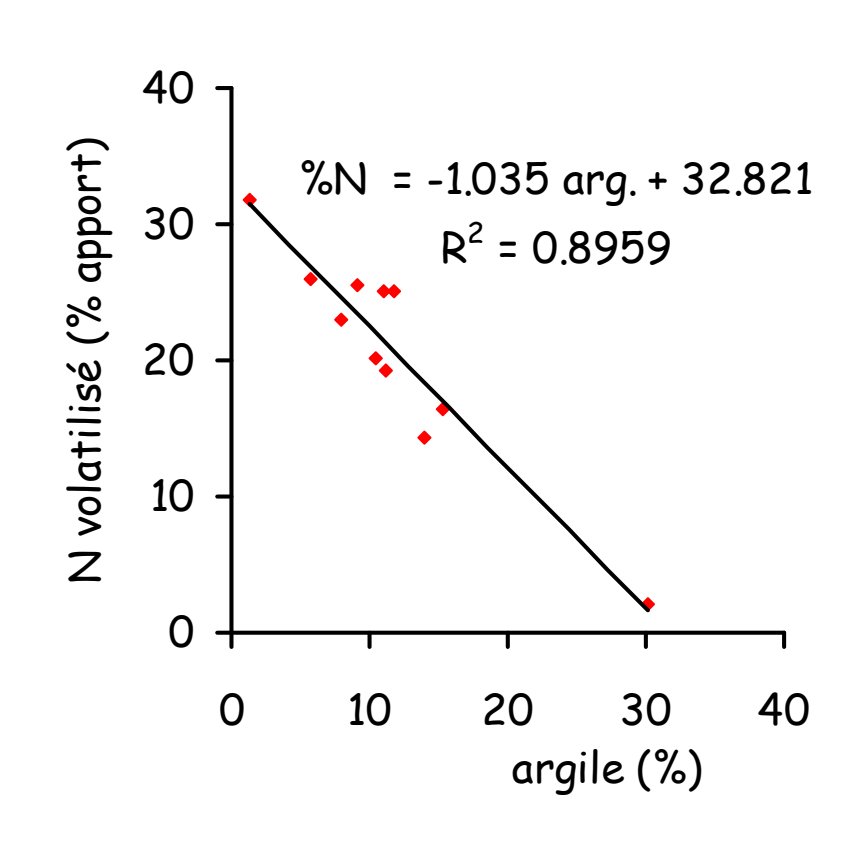


b1): godet équipé d'un filtre piège

b2): connection flacon incubateur dosage "multi gaz"

### Volatilisation : effet de la texture sur la part de N engrais volatilisée

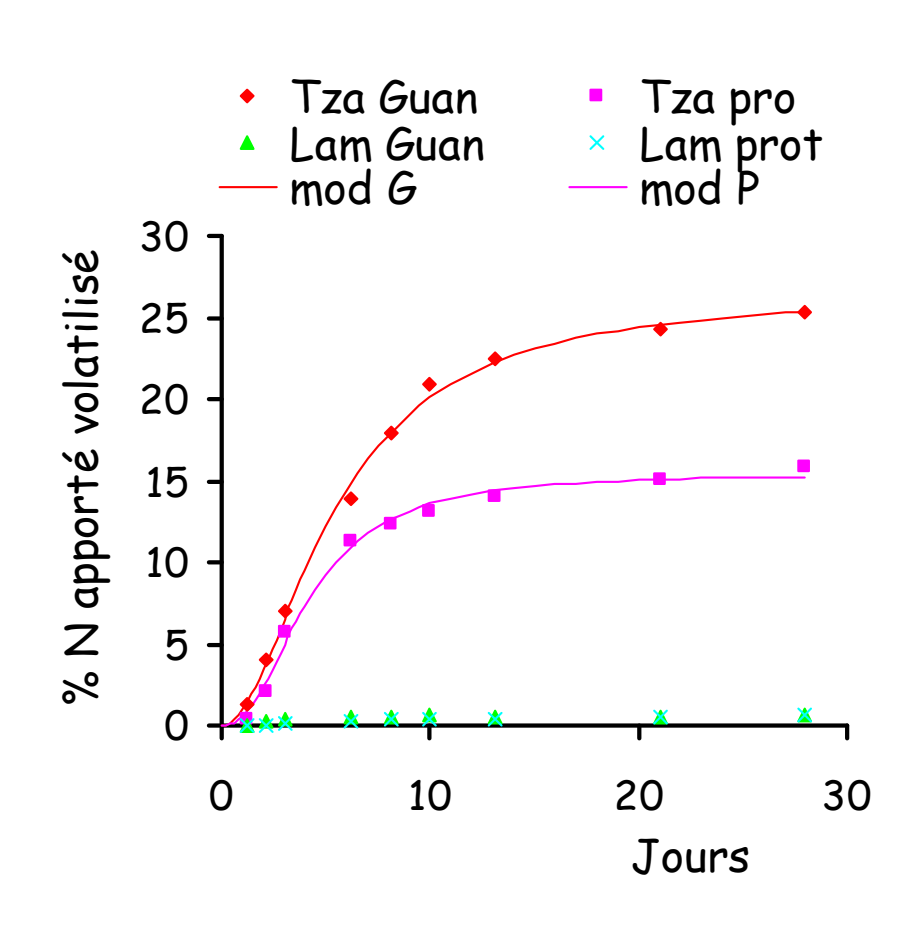
- Dispositif : piège par barbotage
- ✓ sols ferrugineux région Manga (BKF)
  - o pH lgt acide ou neutre
  - Faible pouvoir tampon
  - Toutes positions toposéquence
  - o Tous systèmes de culture
- ✓ Apport urée en surface



## Volatilisation: Dynamique en labo de la volatilisation avec incorporation de M.O.

- ✓ Dispositif : piège statique
- ✓ sols sableux (Tza) et argileux (Lam)
- ✓ dosage par colo auto.

  après échange par KCl N
- modélisation logistique de la dynamique
  - o Guan  $\rightarrow$  26%; Prot  $\rightarrow$  15%

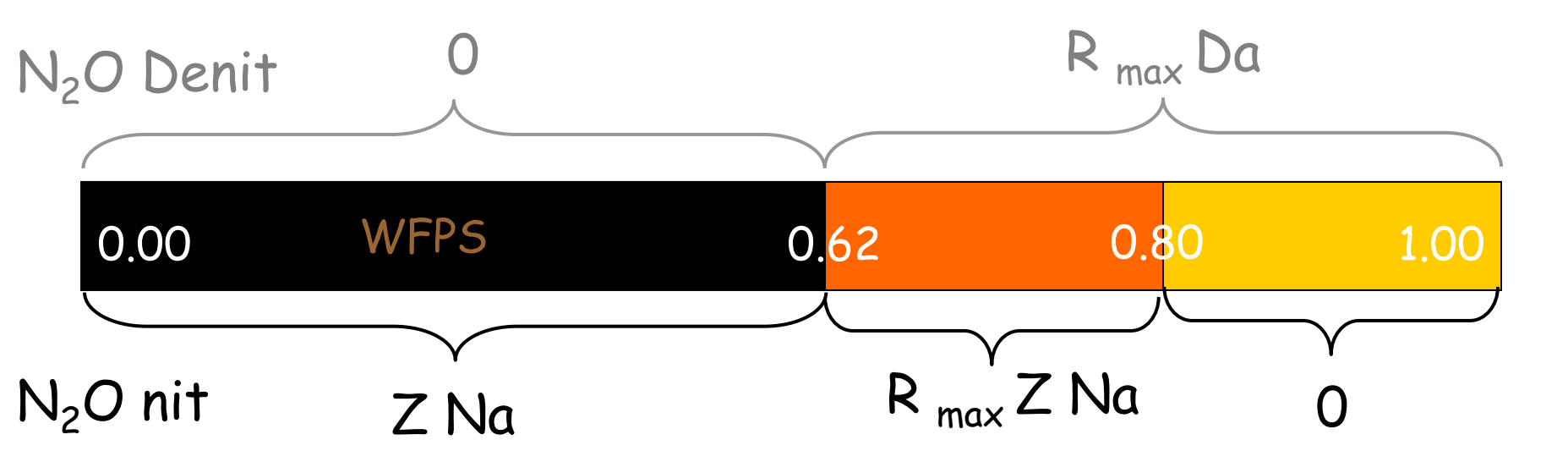


### N<sub>2</sub>O: Dépendance de l'état hydrique

NO **N20** N2 lim nit/denit ✓ Par nitrification: (nitromonas) nitrobacter) Nitritation:  $NH_4^+ + 3/2 O_2 \rightarrow NO_2^- + H_2O + H_3^+$ C<sub>2</sub>H<sub>2</sub> 10 Pa (NO, N<sub>2</sub>O, N<sub>2</sub>) Nitratation:  $NO_2^- + 1/2 O_2 \rightarrow NO_3^-$ ✓ Par dénitrification : (bact. Anaérobies facultatives) 0 20 60 80 100 40 WFPS (%) C<sub>2</sub>H<sub>2</sub> 10 KPa Davidson(91)

WFPS : taux remplissage en eau des pores = Hp  $\gamma_r \gamma_d / (\gamma_r - \gamma_d)$ 

## Modélisation des flux de N-N<sub>2</sub>O: NOE part due à la nitrification



 $Na = N_w N_{NH4} N_T$ 

 $N_w$ : taux nitrification selon la teneur en eau du sol (linéaire)

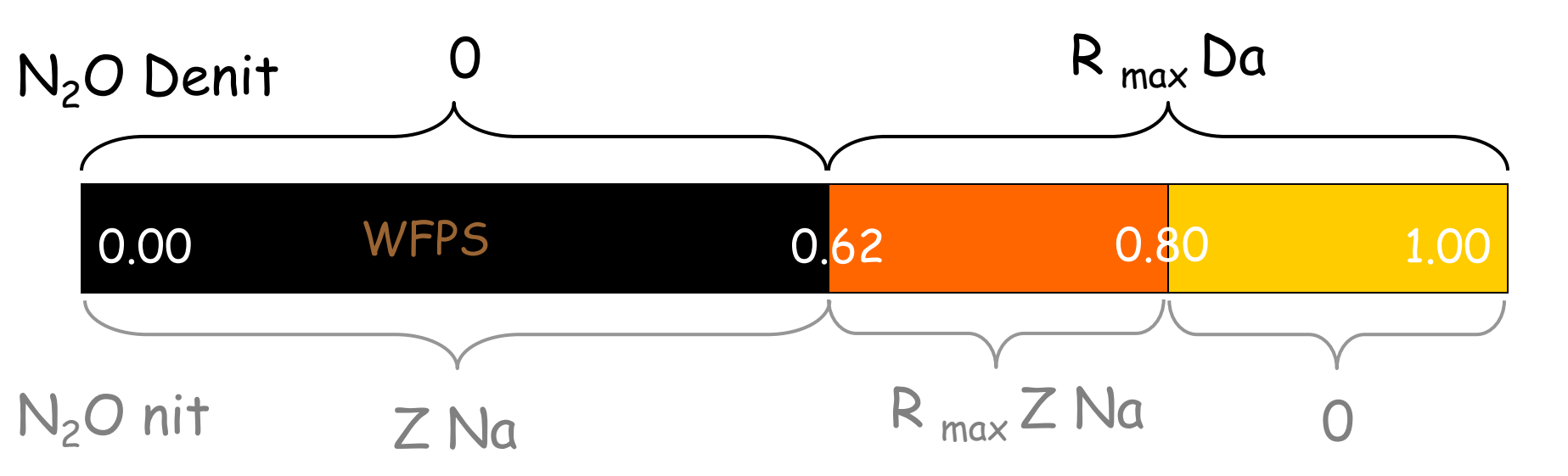
 $N_{NH4}$ : taux de nit. selon teneur en  $NH_4$  (f(x) = X/(A+X))

 $N_T$ : facteur de réponse nit à température (type  $Q_{10}$ )

Z: coefft de conversion nit  $\rightarrow$  émission N<sub>2</sub>O si WFPS < 0.62

 $R_{max}$ : ratio maximum de  $N_2O$  emis par dénit en anaérobiose/ $(N_2O + N_2)$ 

## Modélisation des flux de N-N<sub>2</sub>O: NOE part due à la dénitrification



 $Da = Dp F_N F_W F_T$ 

D<sub>p</sub>: Vitesse potentielle de dénitrification

 $F_N$ : taux de denit selon teneur en  $NO_3$  (f(x) = X/(A+X))

 $F_w$ : facteur de réponse de la denit à l'humidité (WFPS)

 $F_T$ : facteur de réponse dénit à la température (type  $Q_{10}$ )

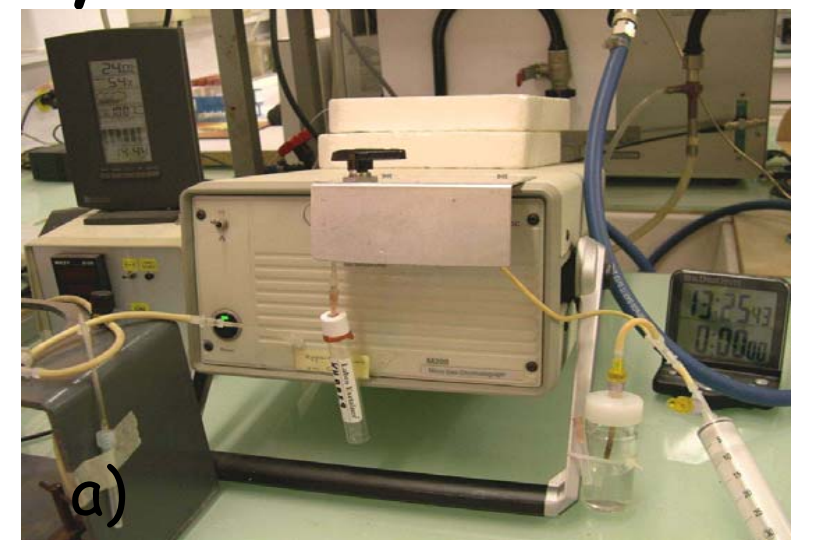
 $R_{max}$ : ratio max. de  $N_2O$  émis par dénit en anaérobiose  $N_2O/(N_2O+N_2)$ 

### N20: techniques de détermination

- CPG détection par microcatharomètre
  - o Gaz vecteur He2
  - Sensibilité ~ 1 à 10 vpm N2O selon réglages
  - o Piquage direct dans les flacons ou tubes
  - o Acquisition chromatogramme: 1 mn
- ✓ CPG détection par ECD (<sup>63</sup>Ni)
  - o Gaz vecteur Argon 90- CH<sub>4</sub> 10
  - Sensibilité ~ 0.1 vpm
  - o Injection : seringue Hamilton à robinet d'arrêt
  - Acquisition chromatogramme: 4 minutes

N<sub>2</sub>O: panoplie du parfait petit

analyste









a): CPG micro catha; b): seringue Hamilton + exetainer; c): CPG ECD Varian

d): tubes de stockage de type exetainer et vénoject

# Objectifs et techniques d'étude de la production de N<sub>2</sub>O par les sols

- ✓ En microcosme
  - Mesure activité dénitrifiante.
    - Sur terre remaniée (C et N non limitants)
       ; + C<sub>2</sub>H<sub>2</sub>; dynamique sur 1 à 6 heures;
       anaérobiose; saturation en eau (labo)
  - o Production potentielle de N2O par dénit
    - Sur cylindre de sol en place (10 rep);
       saturation en eau; (NO<sub>3</sub> non limitant)
       dynamique 1 à 4 heures (thèse
       Herlgouac'h)
  - Capacité de réduction du N2O produit :
    - Incubation sur plusieurs jours (1 à 10);
       sol saturé; NO<sub>3</sub> non limitant; deux séries avec et sans C<sub>2</sub>H<sub>2</sub> (thèses Bonzi;
       Metay; Herlgouac'h)







# N<sub>2</sub>O: production potentielle de N<sub>2</sub>O sous caféier



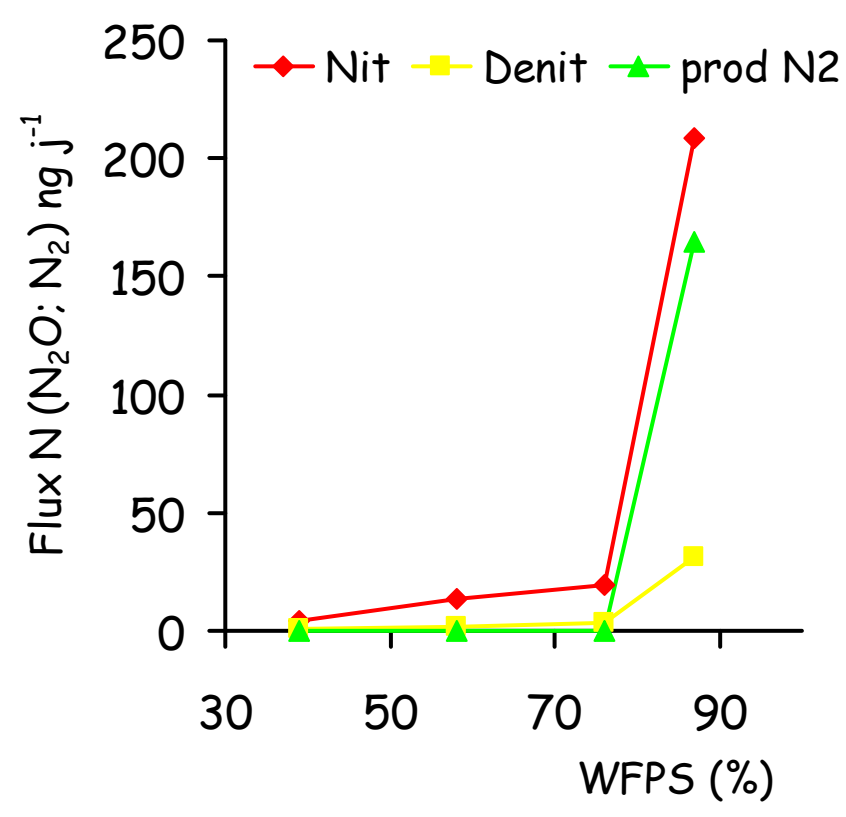
Zone fertilisée		oui	non
(g I	V (N <sub>2</sub> O) ha <sup>-1</sup> j <sup>-1</sup> )		
		797	270
Cult	Plein soleil	± 215	± 43
ulture		179	114
0	ombragée	± 28	± 52

### Production de N2O par nit. et denit. Selon le WFPS

L'utilisation simultanée de  $C_2H_2$  aux pressions partielles de O; 10 Pa et 10 Kpa permet de différencier les sources et voies de pertes gazeuses en N

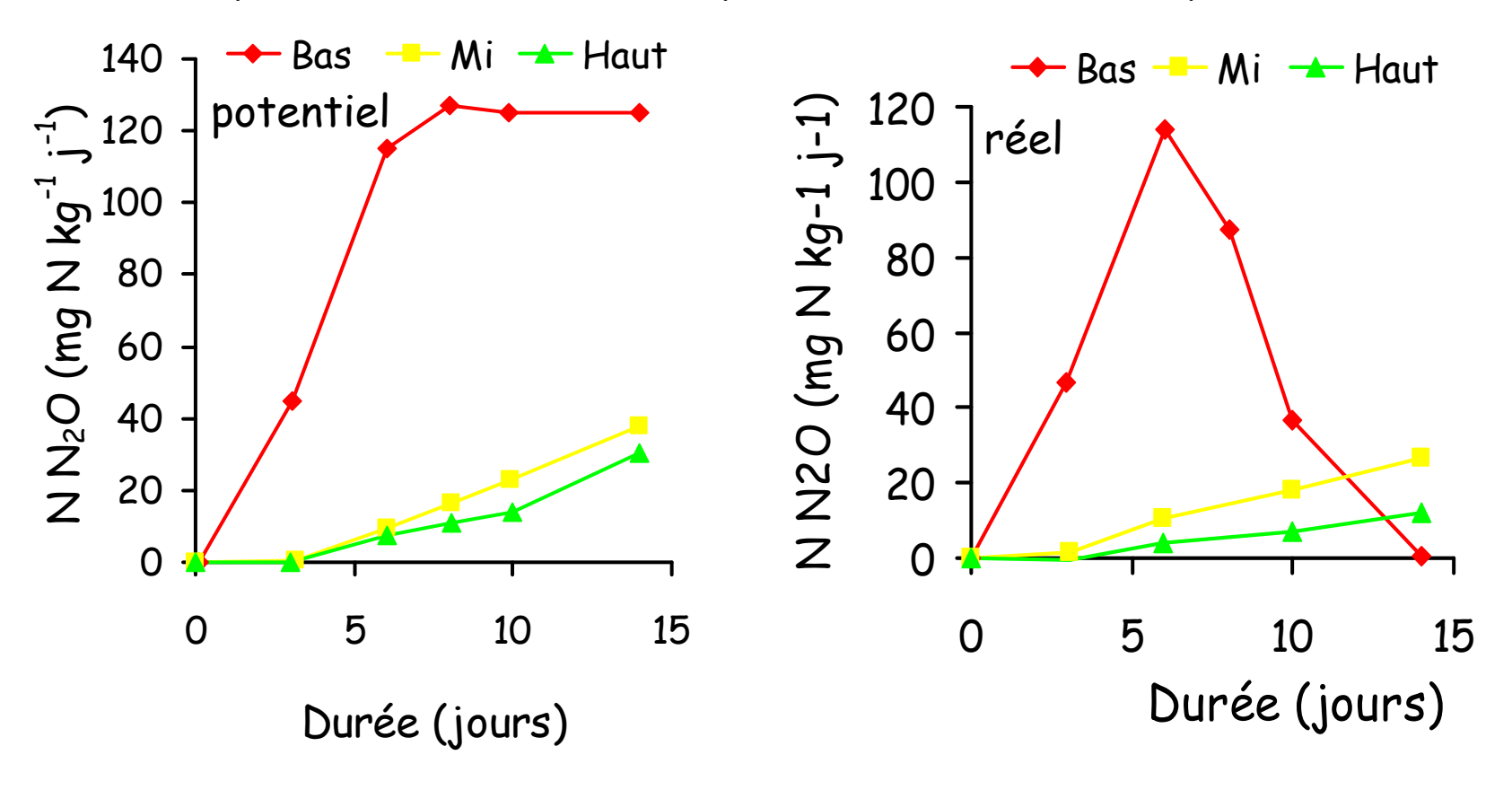
✓ Même à WFPS 87% production dominante de N₂O : nit !!!

✓ Production de N<sub>2</sub> très forte à 87% WFPS

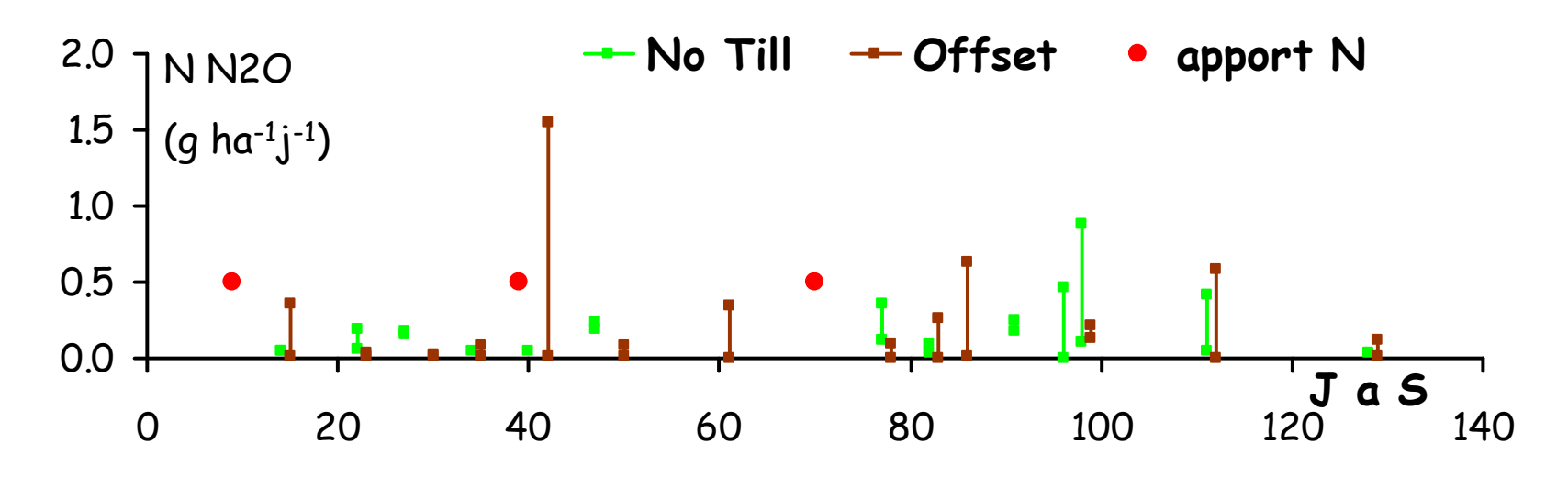


# Réduction en N<sub>2</sub> du N<sub>2</sub>O potentiellement produit : cas d'une toposéquence au BKF

En bas de pente : réduction rapide en N2 du N2O produit.



### Flux de N<sub>2</sub>O in situ : quelques résultats

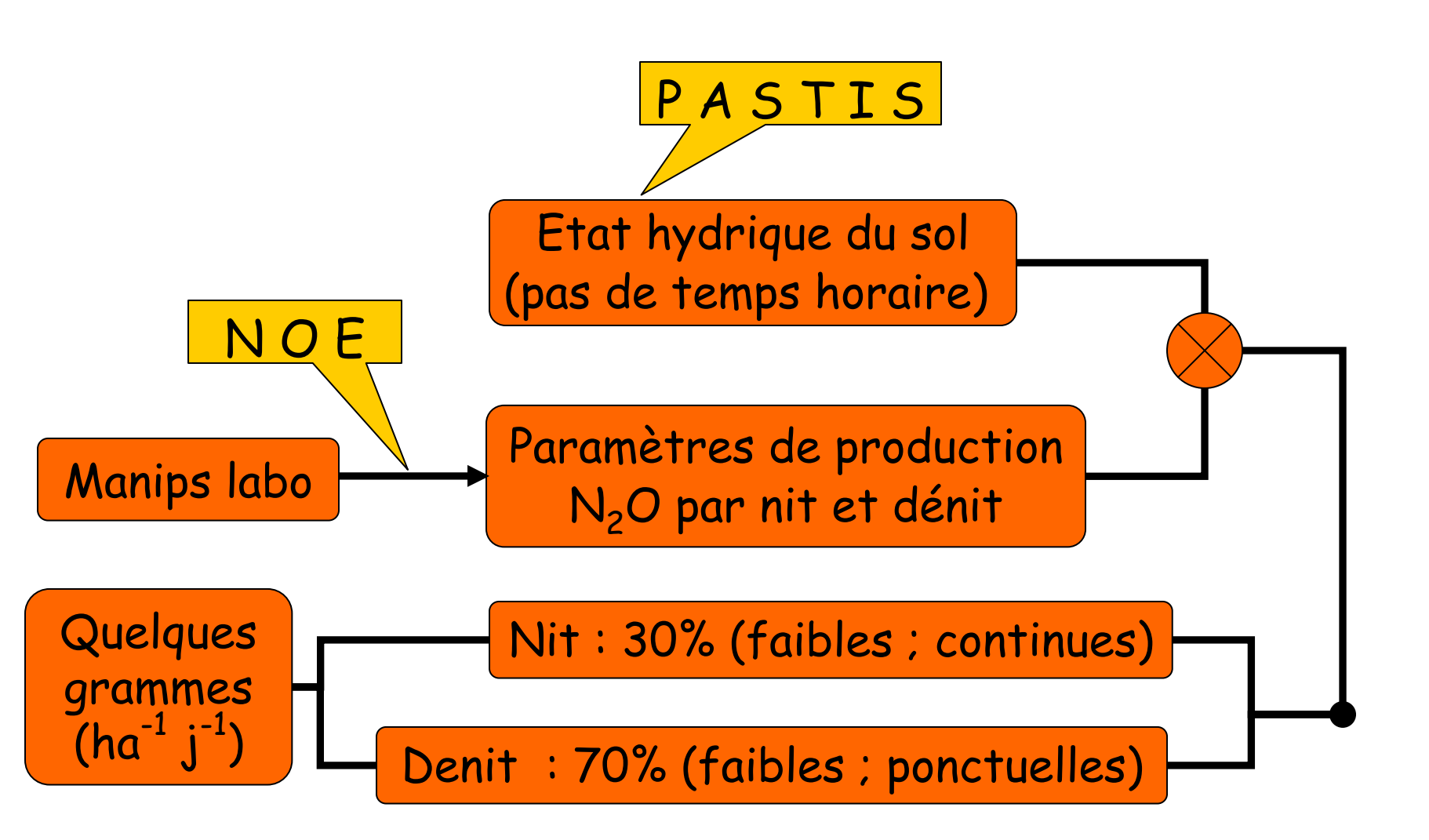


- Mesure soumise à de nombreuses sources de variabilité et aléas
  - Variabilité spatiale : Spots d'émission (f(MO ; Hv ; fumure ; structure...)
  - o Conservation des échantillons et analyse « délicate »
- ✓ Suivi nécessairement ponctuel et discontinu (sauf par méthodes micro météo)
- ✓ Comment intégrer des jeux de données souvent très fluctuants : modéliser

### Modélisation des flux de N-N20 : NOE

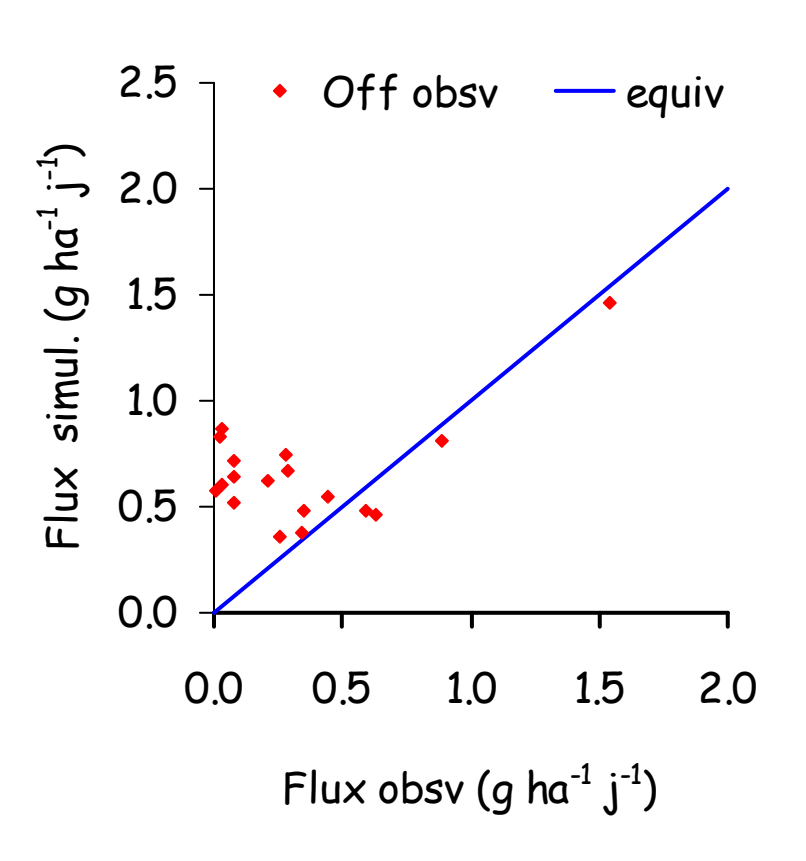
- ✓ Variables d'entrée :
  - Données spécifiques (labo + terrain)
  - O Deux sources de N2O :
    - WFPS < 0.70 : processus de nitrification</li>
    - WFPS > 0.70 : processus de dénitrification
- Validation
  - o ponctuelle des variables  $\rightarrow$  estimation flux ponctuels
  - o facteur majeur des estimations : WFPS
- ✓ intégration sur une période de suivi

## N<sub>2</sub>O: sources possibles d'émissions - systèmes cultivés des Cerrados (Brésil)



## $N_2O$ : émissions par nitrification - confrontation obs $\leftrightarrow$ mes

- concordance assez décevante
  - Quelques valeurs proches
  - Sinon simul > observé
- mise en cause: fuites; conservation; analyse?
- ✓ Problème mieux maîtrisé
  - Exetainers
  - Scellement des tubes (cire)



#### **Retour au Sommaire**





